

FIG. 1

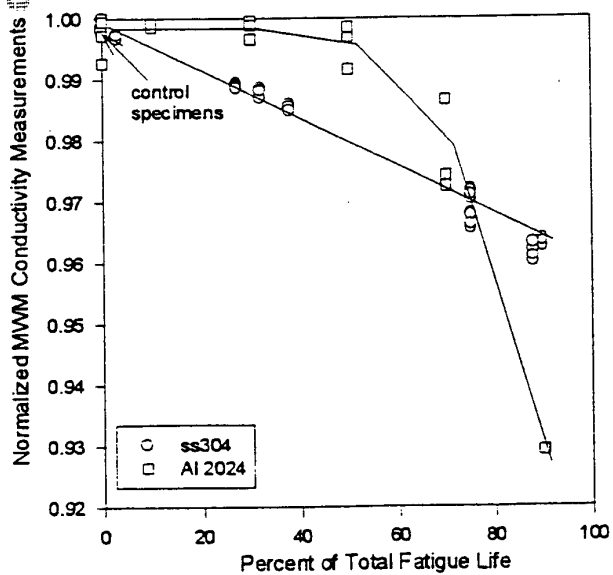


FIG. 2

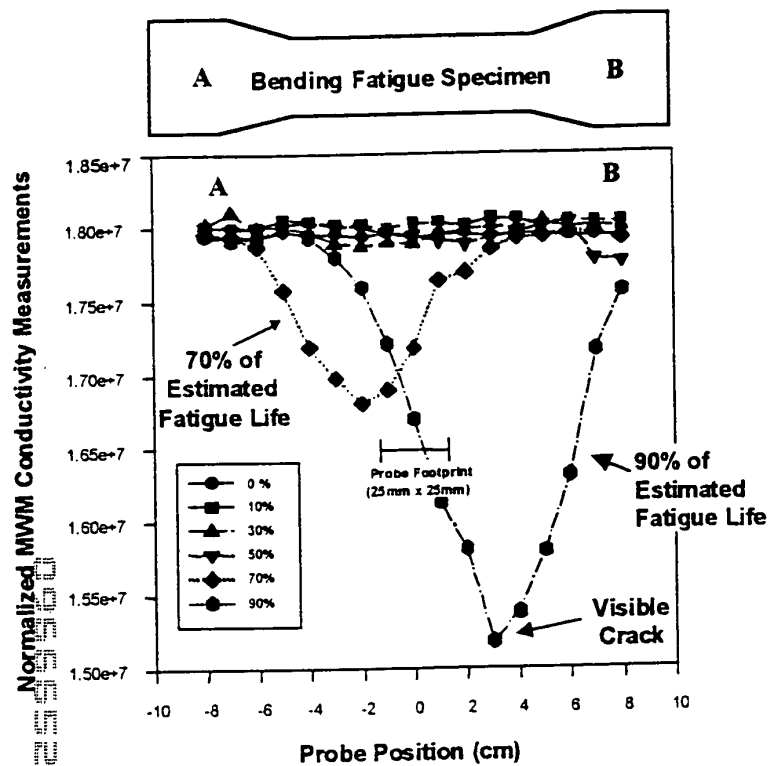


FIG. 3

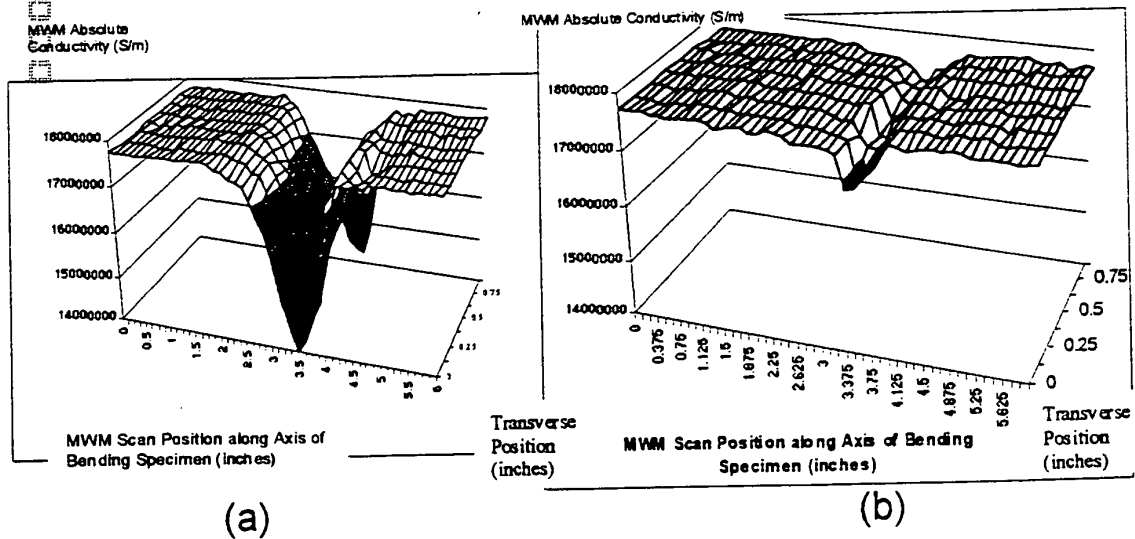
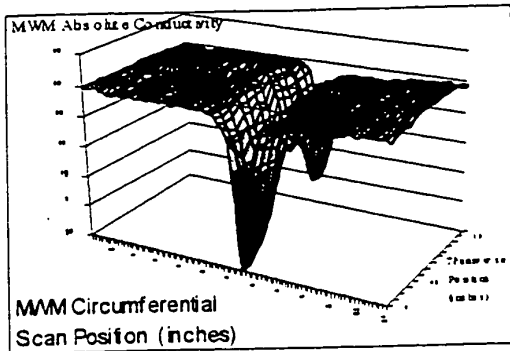
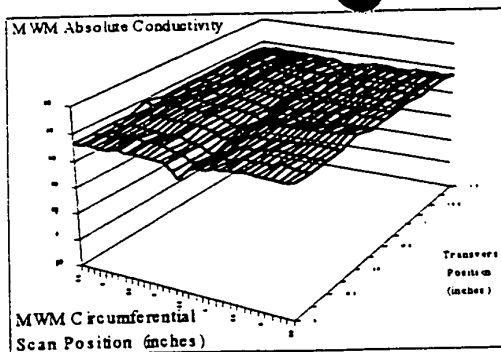


FIG. 4



(a)



(b)

FIG. 5

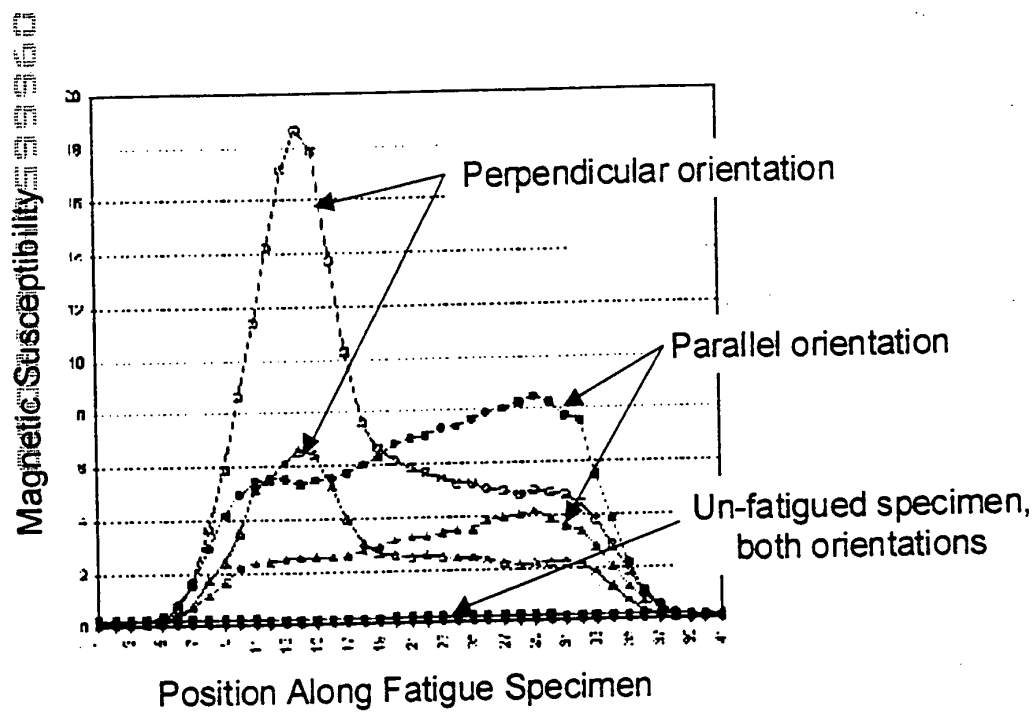
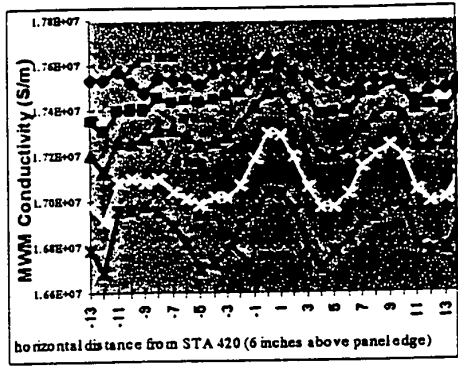
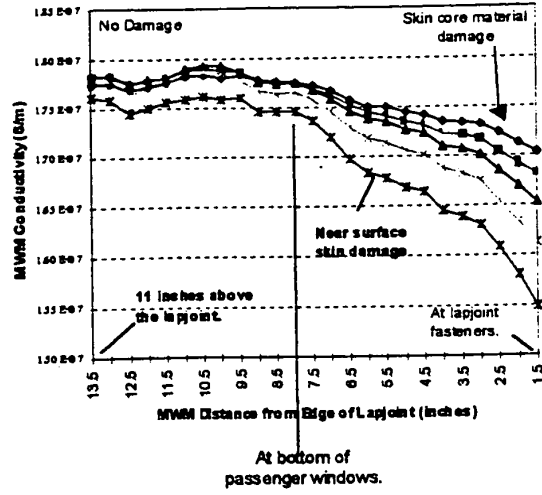


FIG. 6



(a)



(b)

FIG. 7

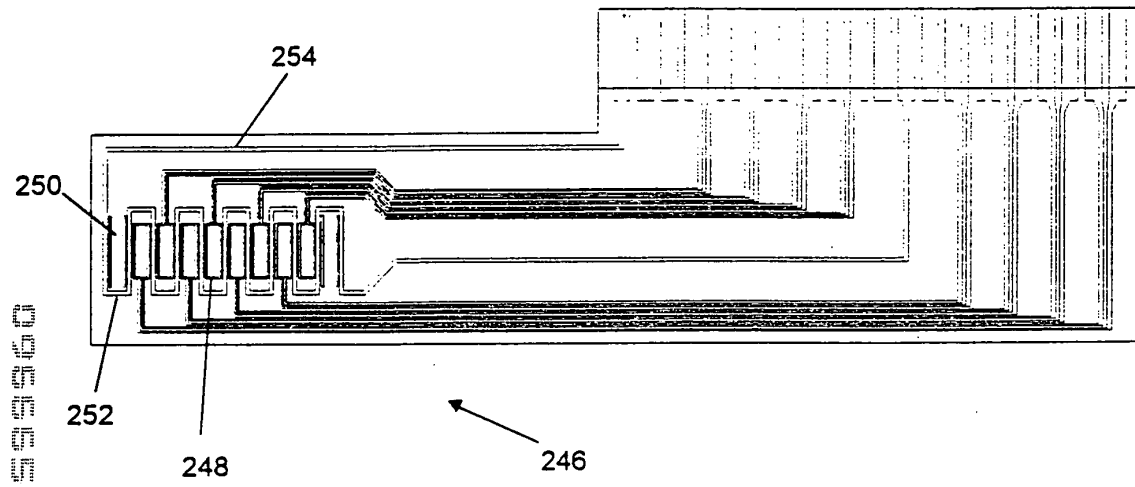


FIG. 8(a)

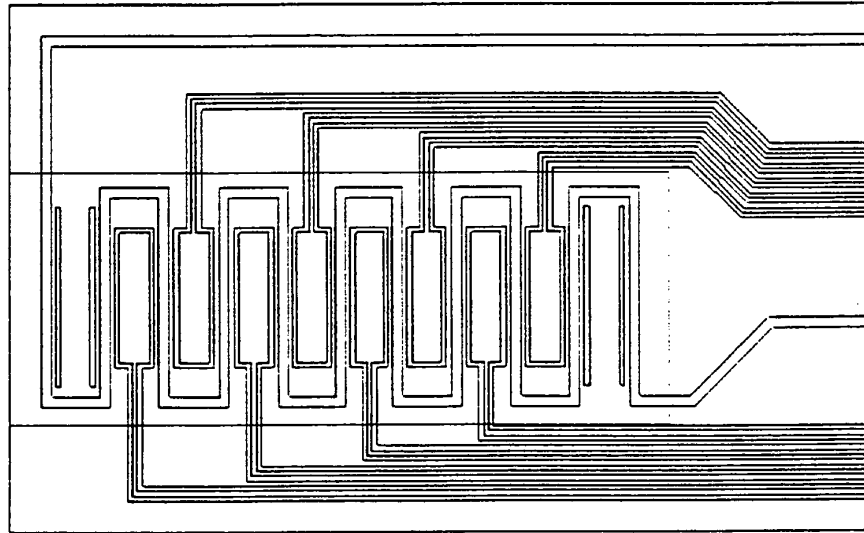


FIG. 8(b)

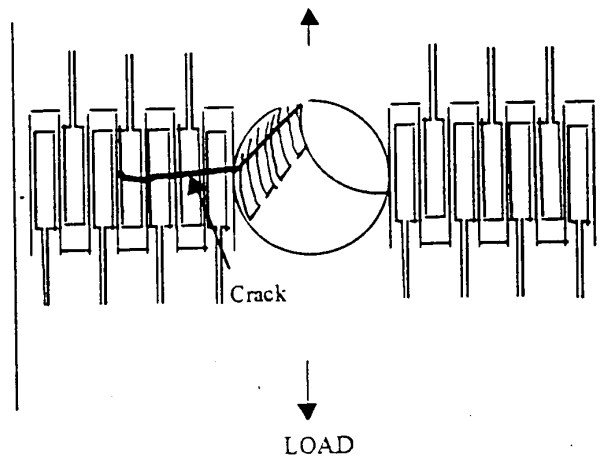


FIG. 9

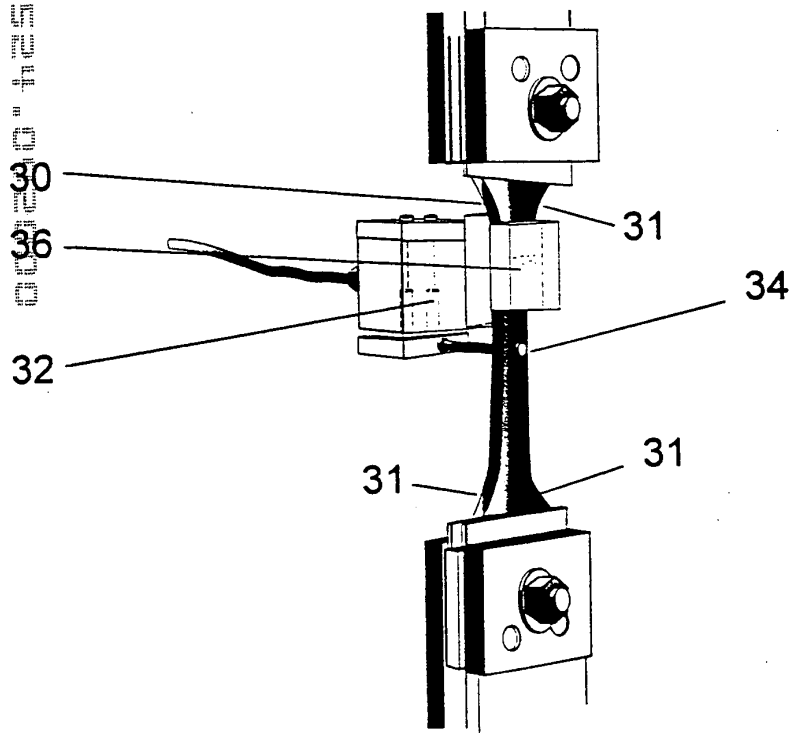
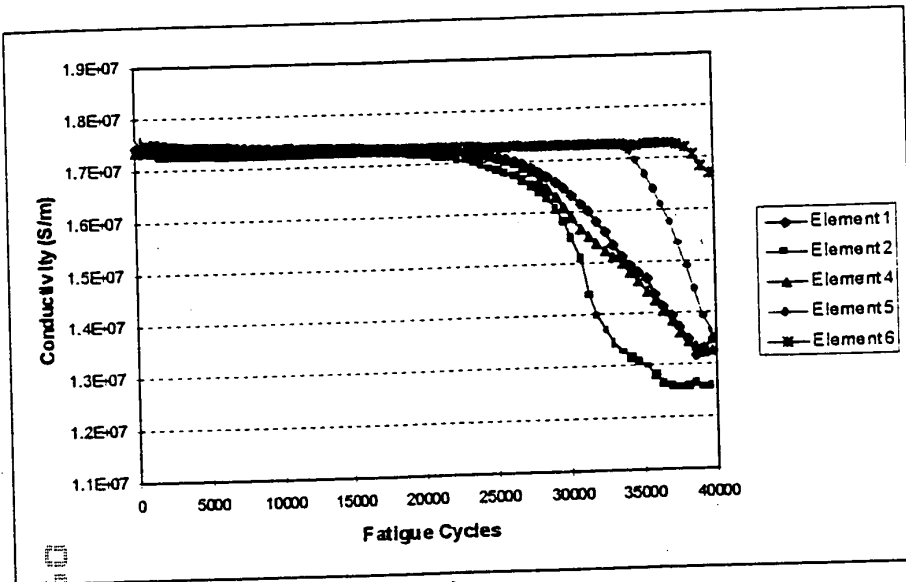
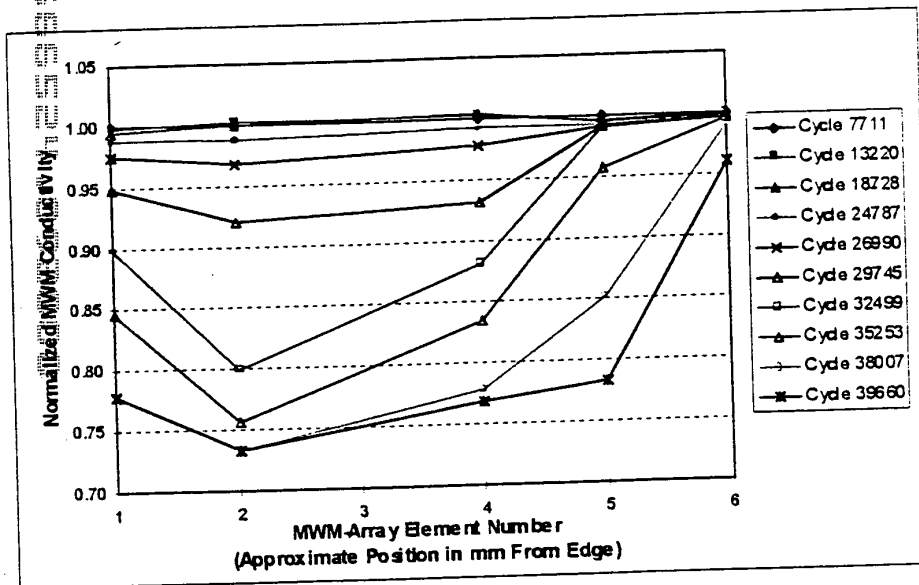


FIG. 10

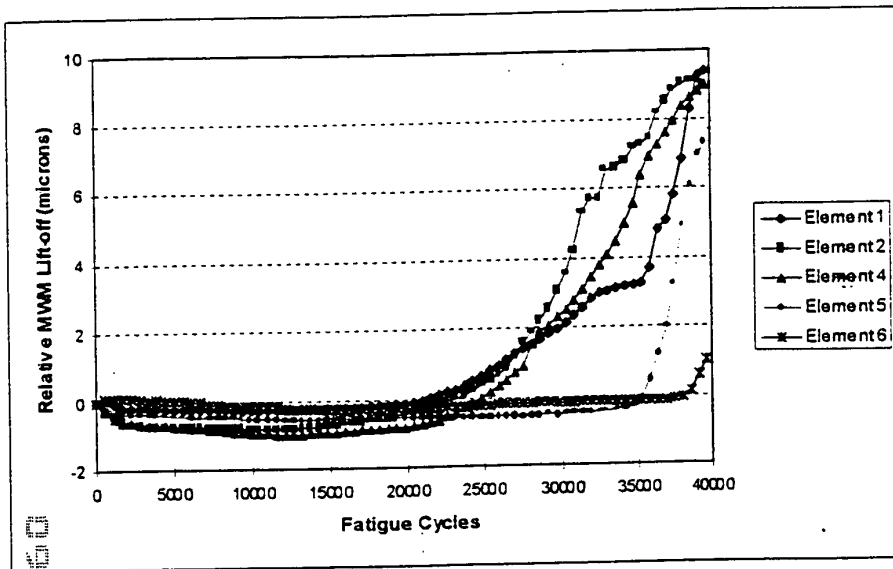


(a)

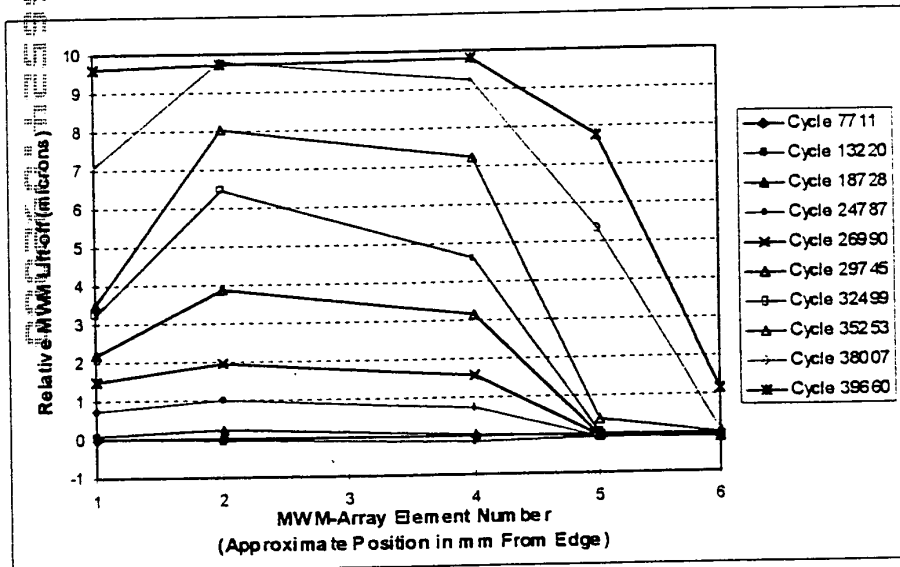


(b)

FIG. 11



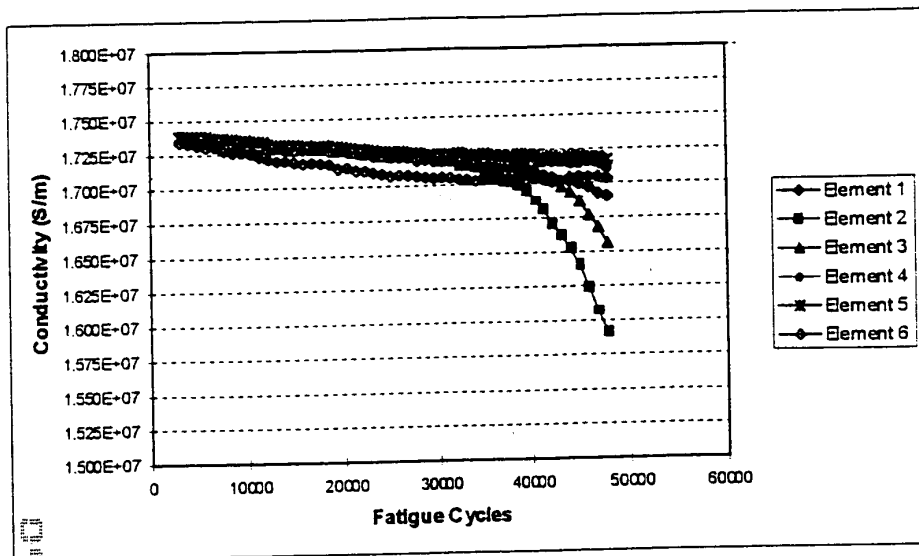
(a)



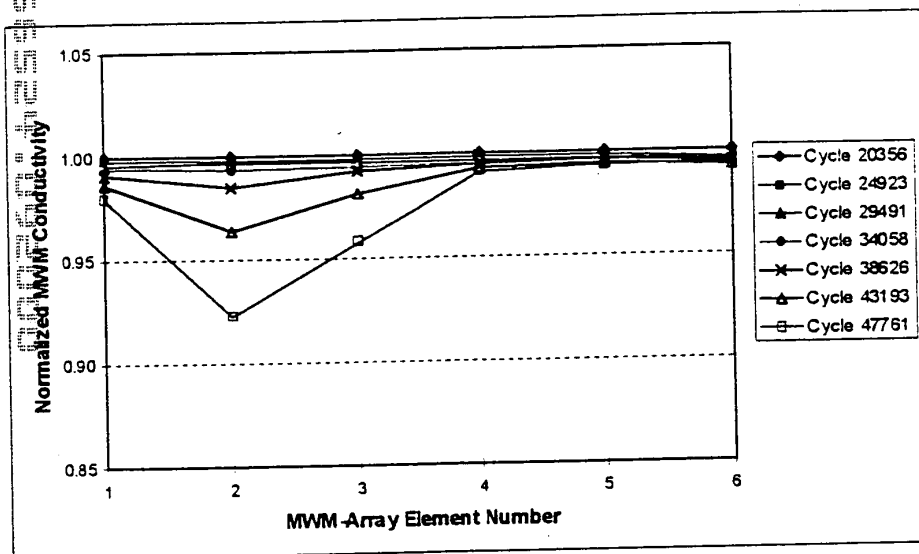
(b)

FIG. 12





(a)



(b)

FIG. 13

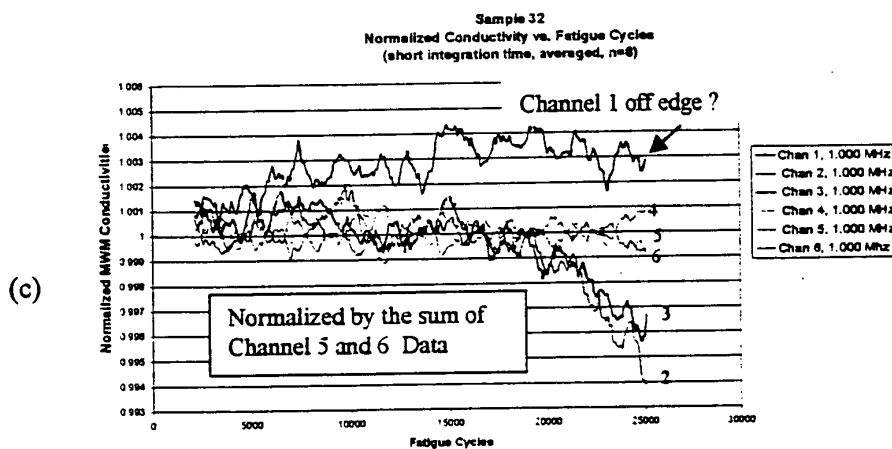
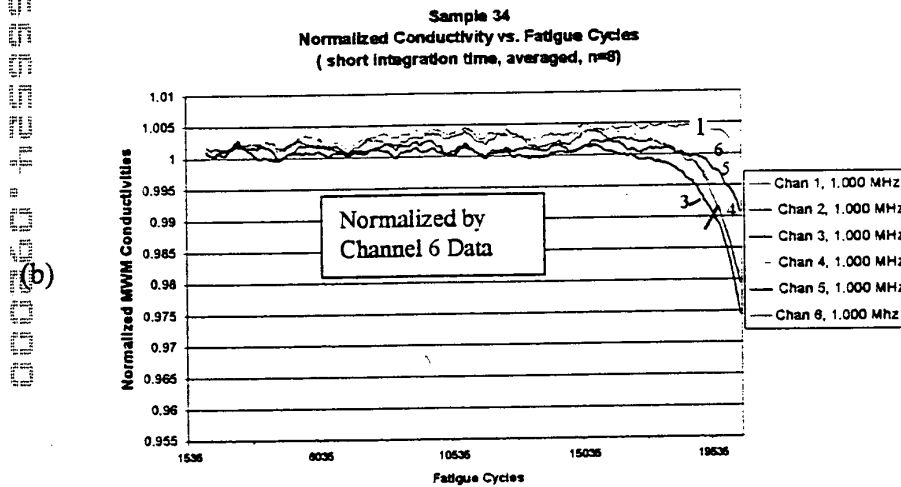
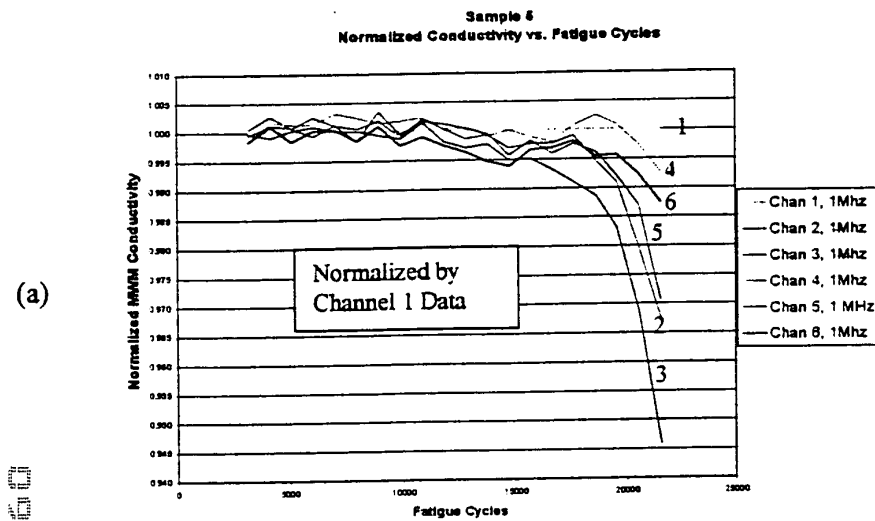


FIG. 14



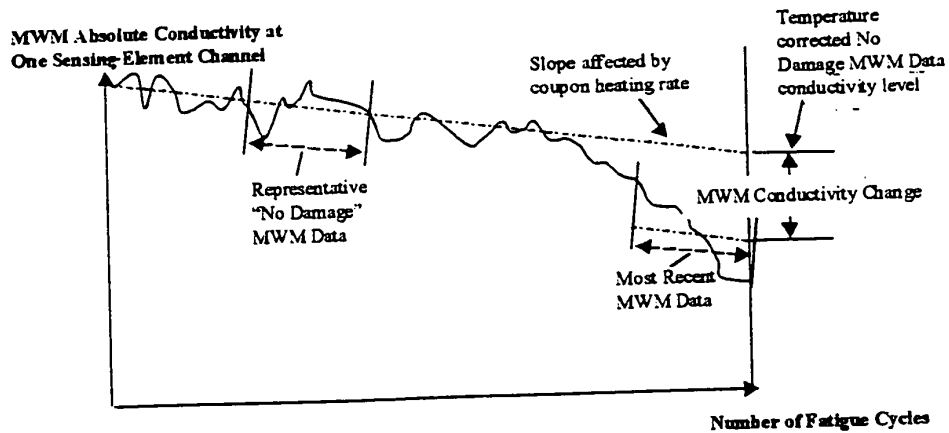


FIG. 16

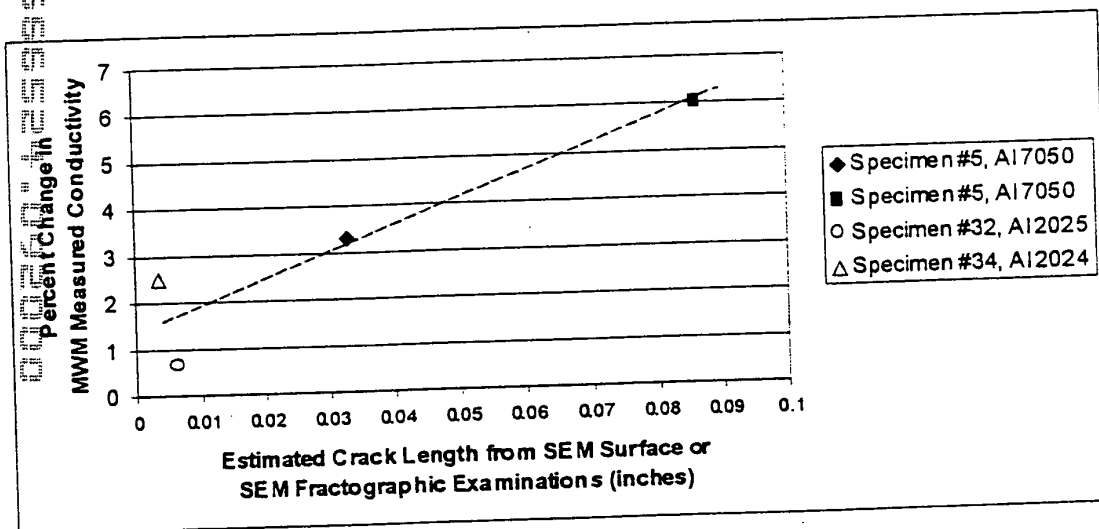


FIG. 17

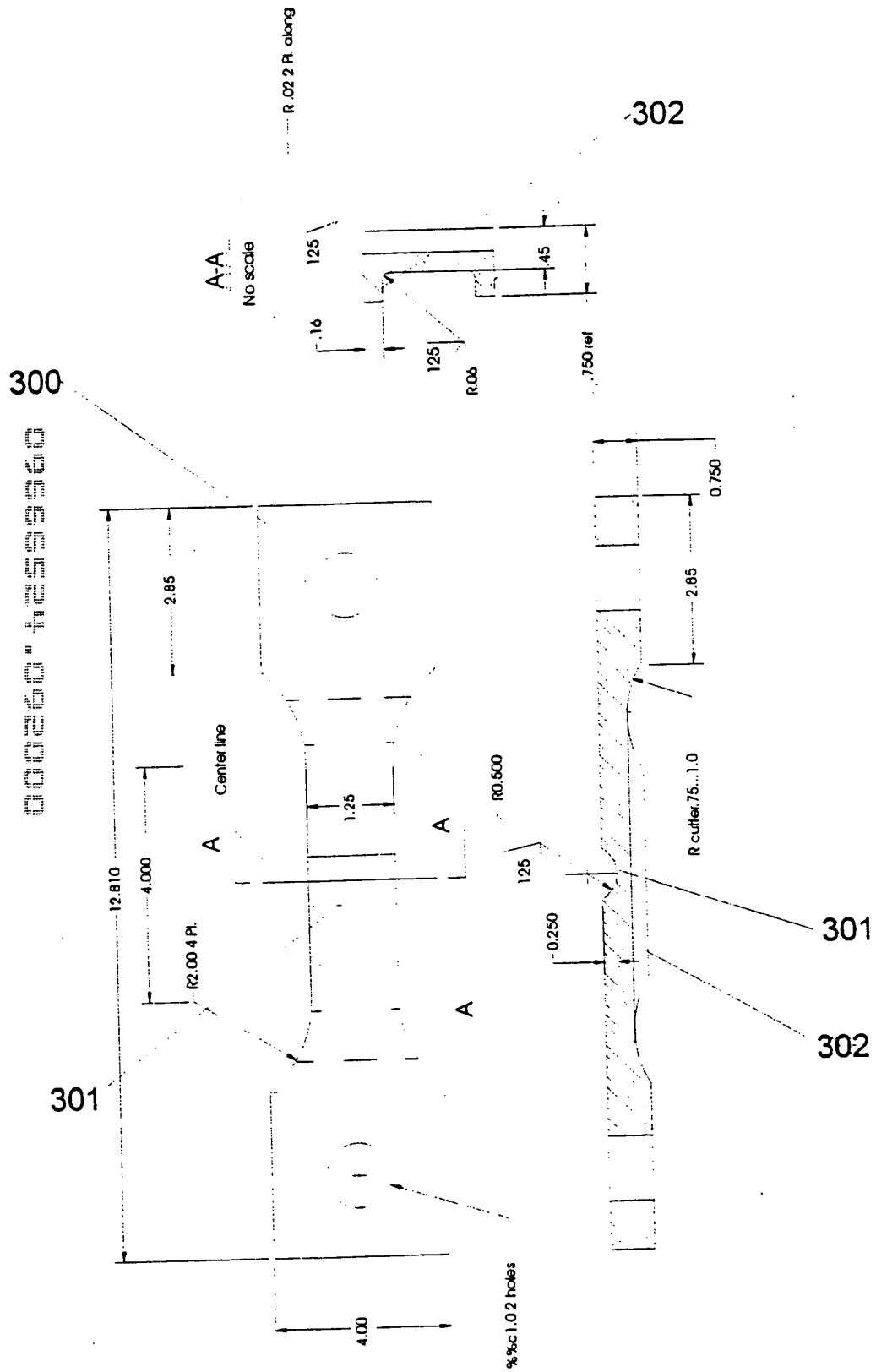


FIG. 18

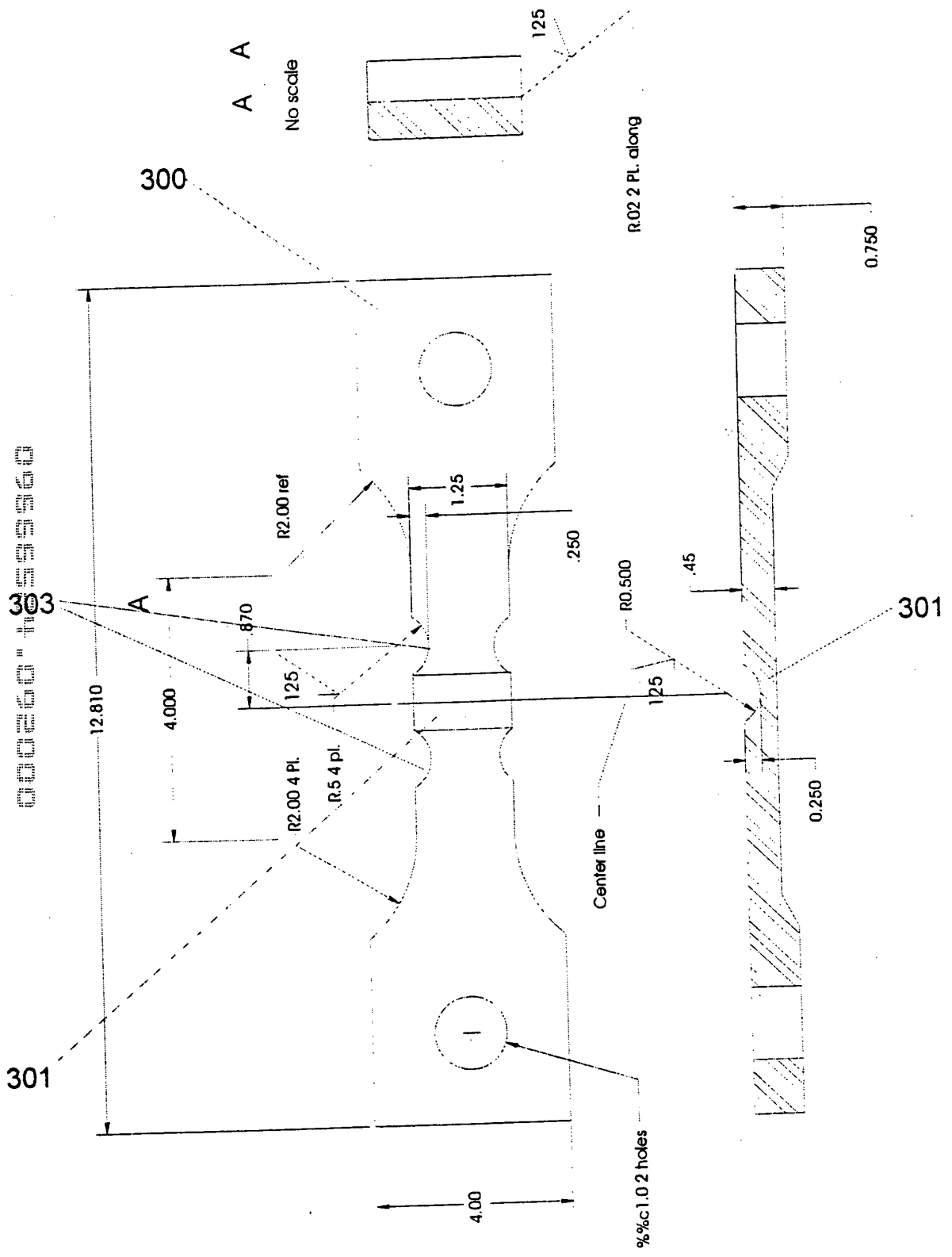
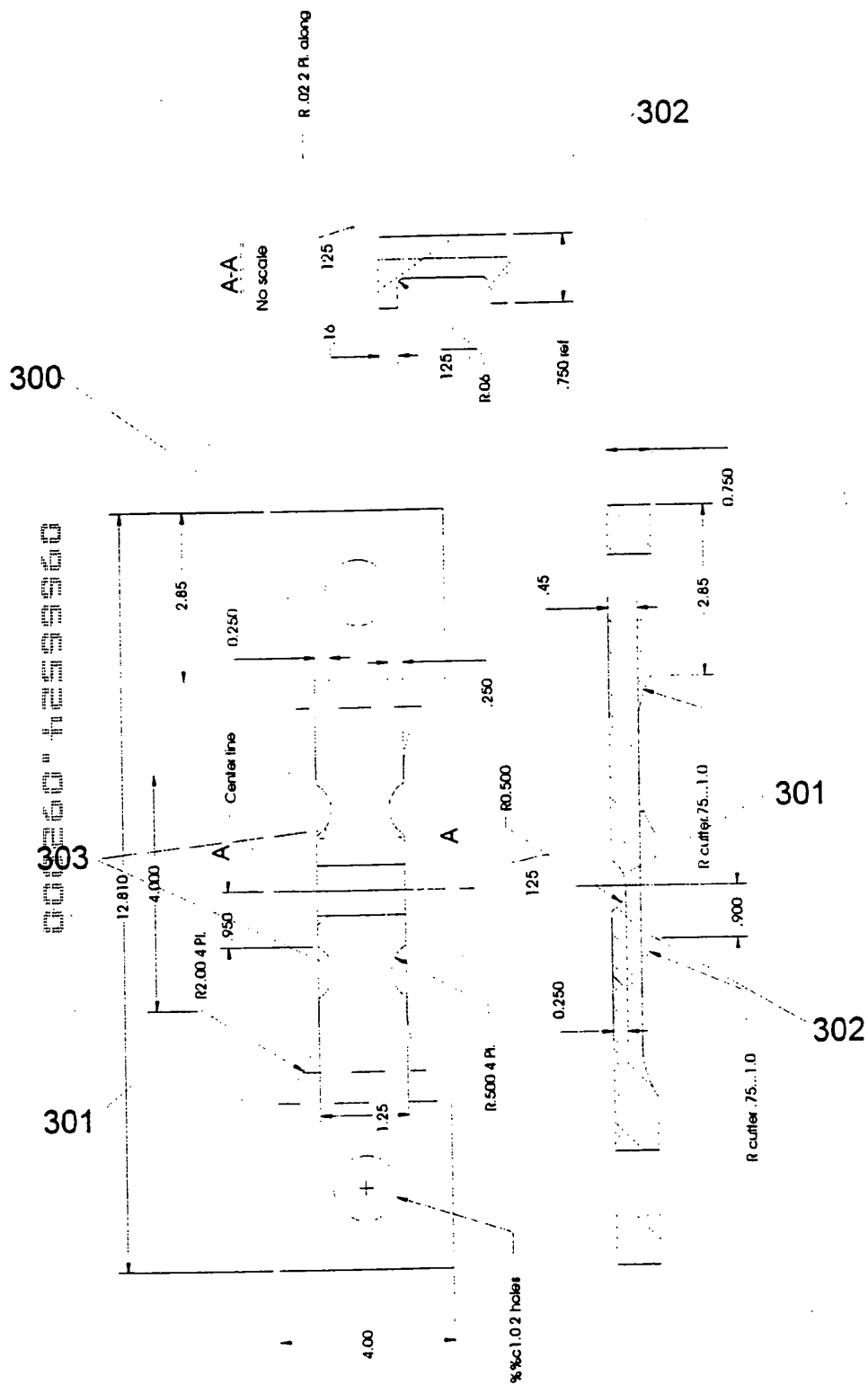
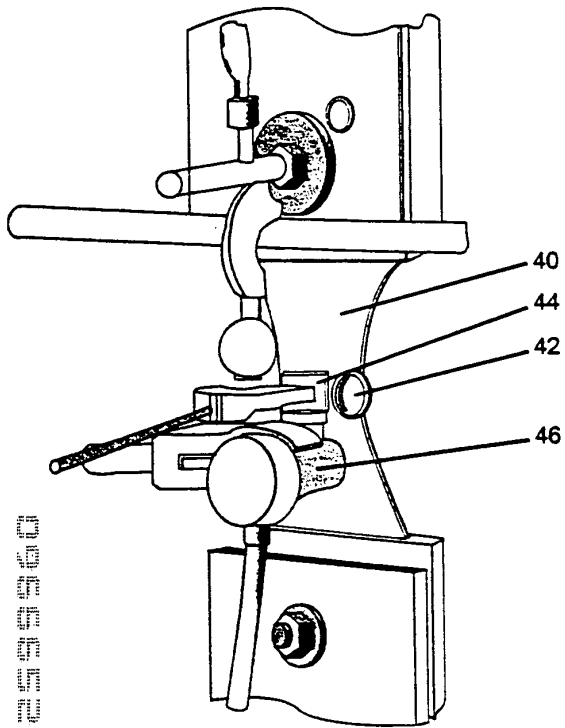
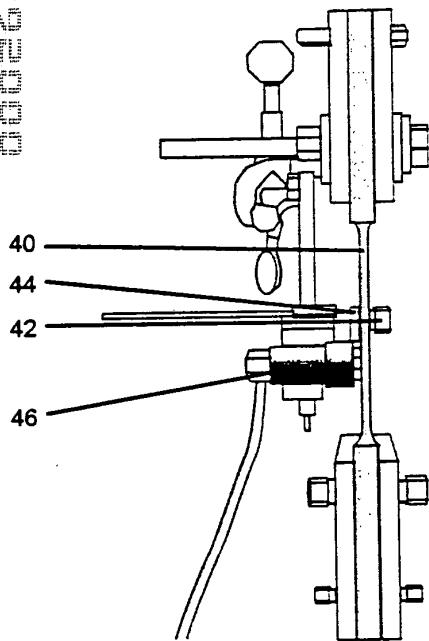


FIG. 19



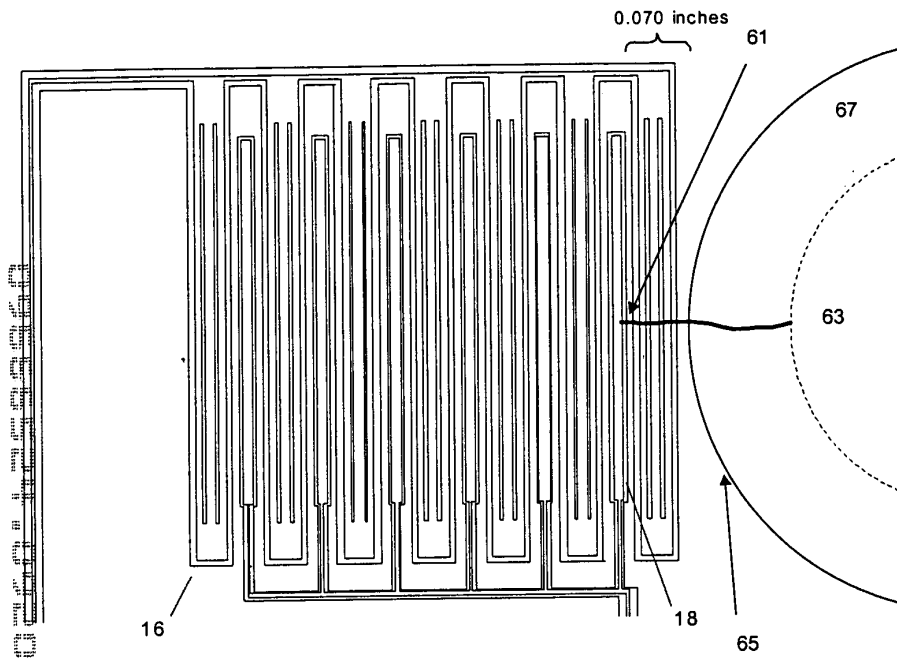


**FIG. 21(a)**



**FIG. 21(b)**





**FIG. 22**

000260" 1299960

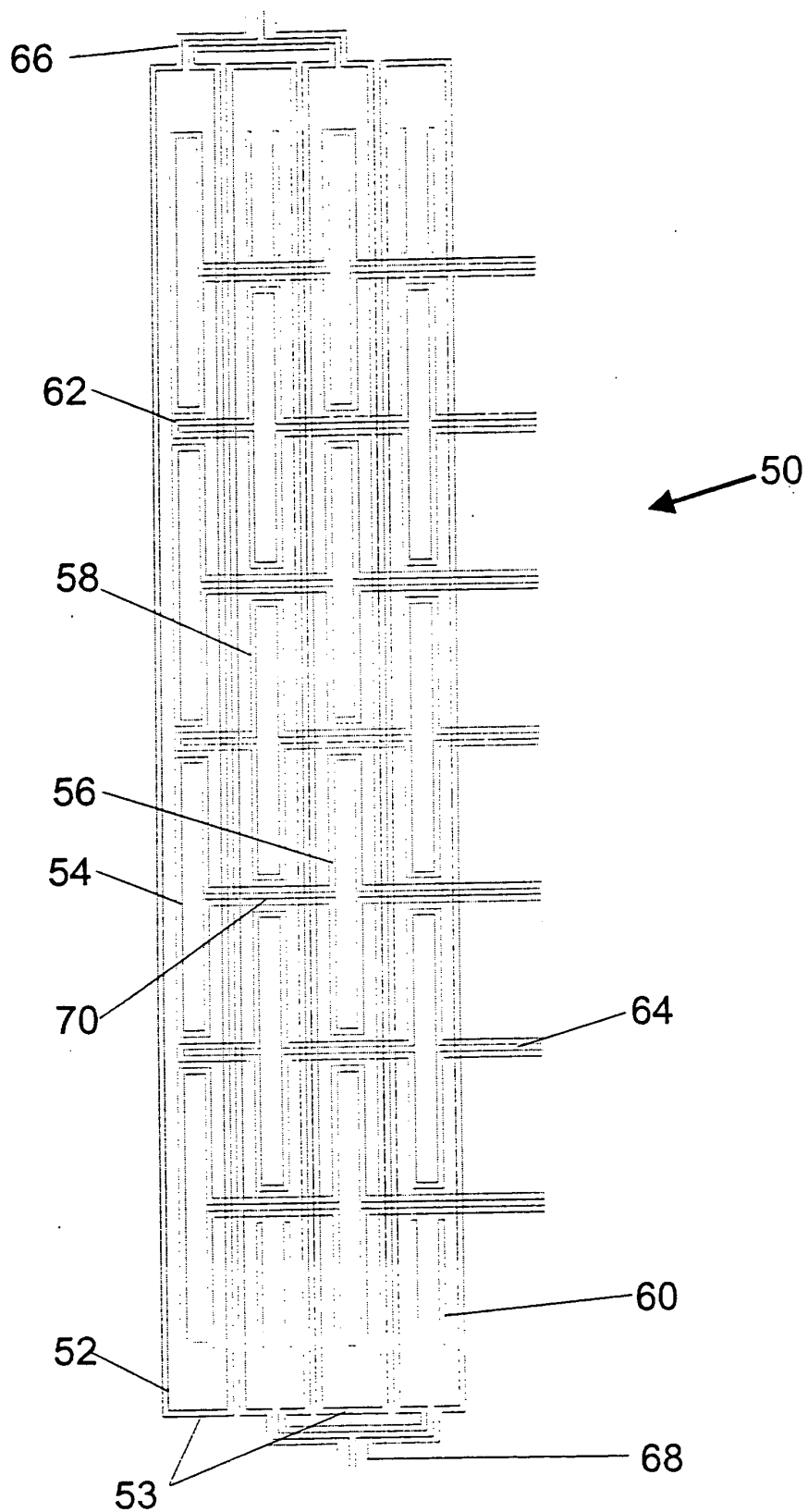
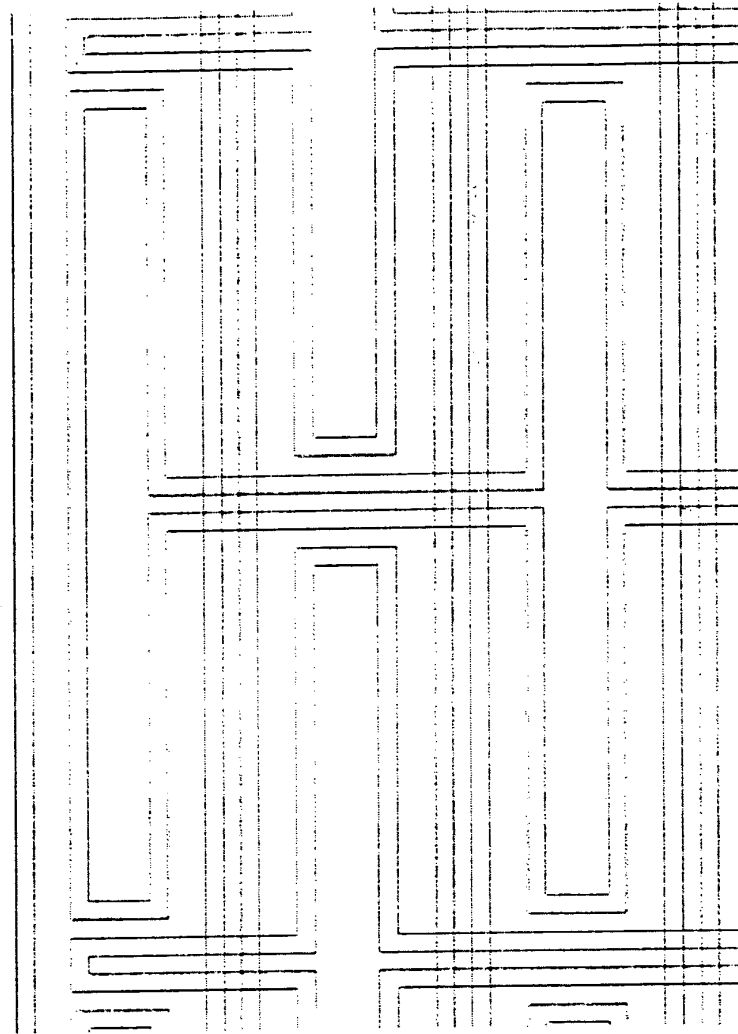


FIG. 23(a)

000260" 42399960

FIG. 23(b)



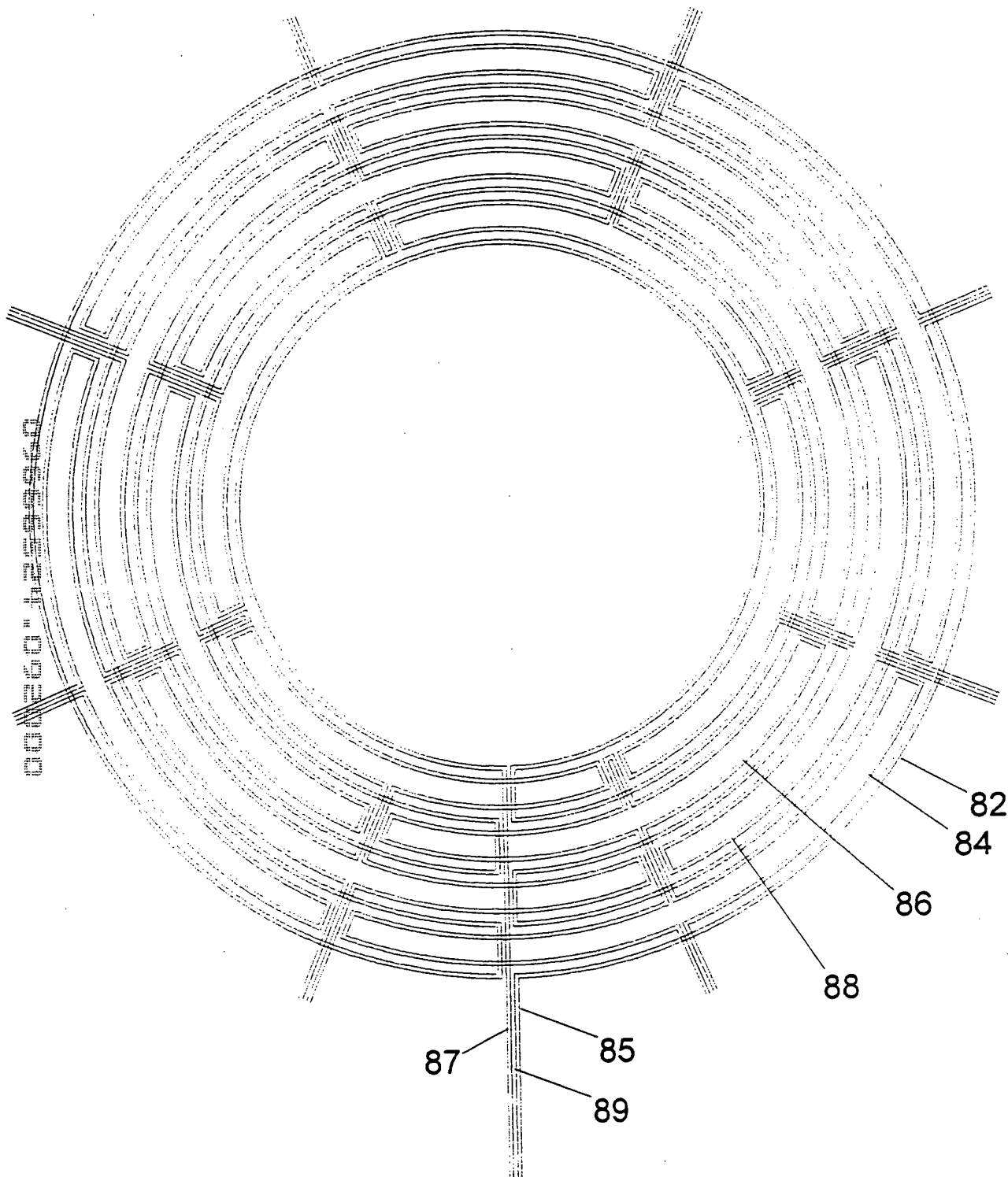


FIG. 24(a)

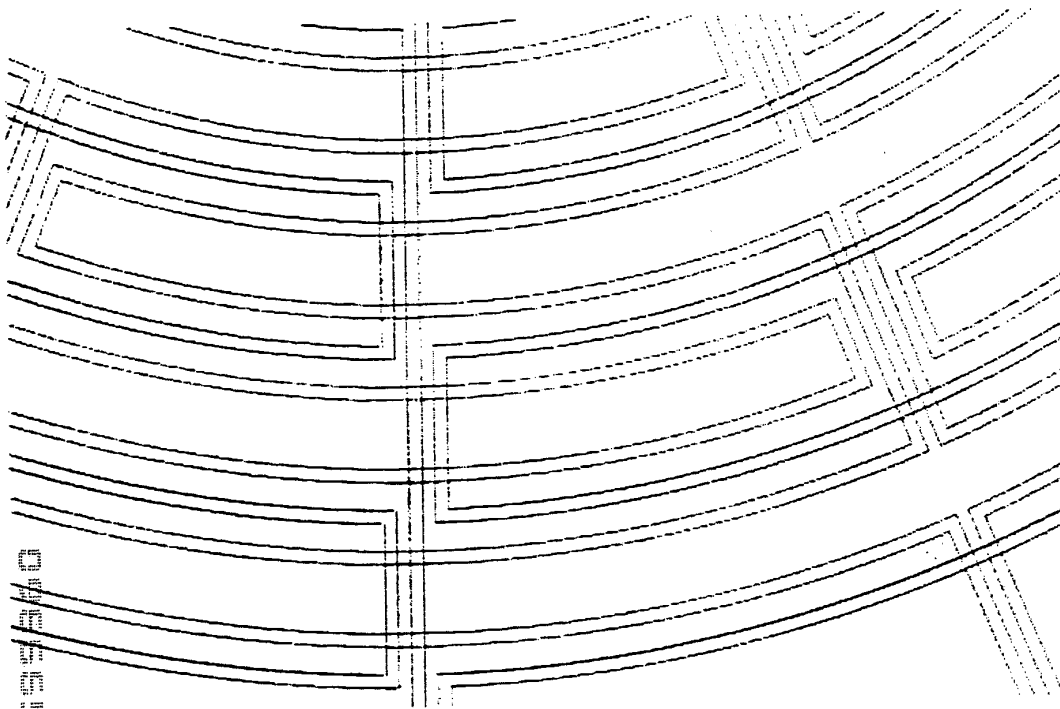


FIG. 24(b)

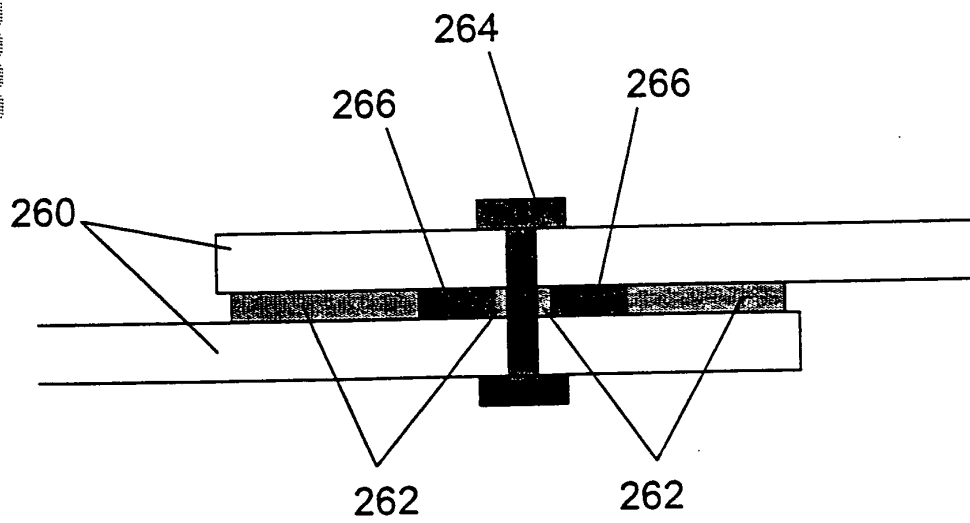


FIG. 25

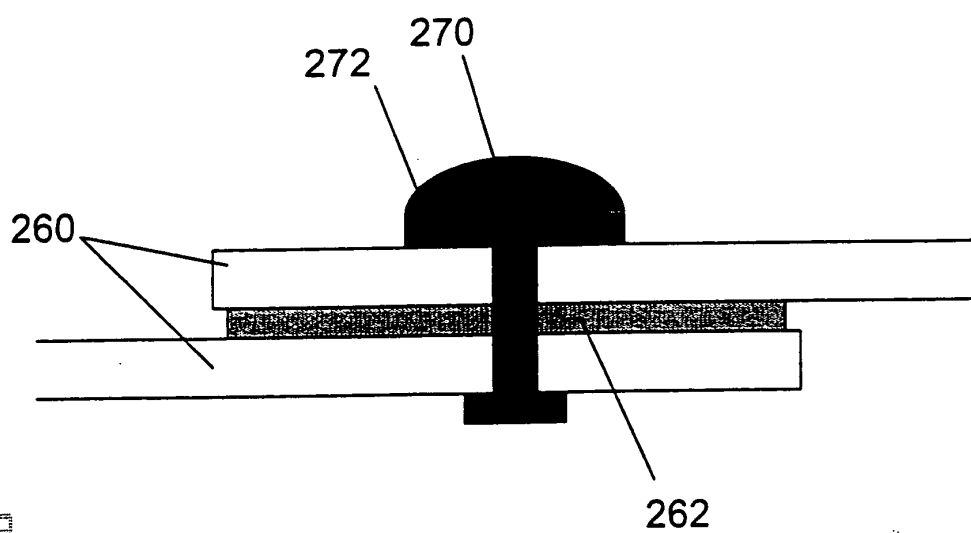


FIG. 26

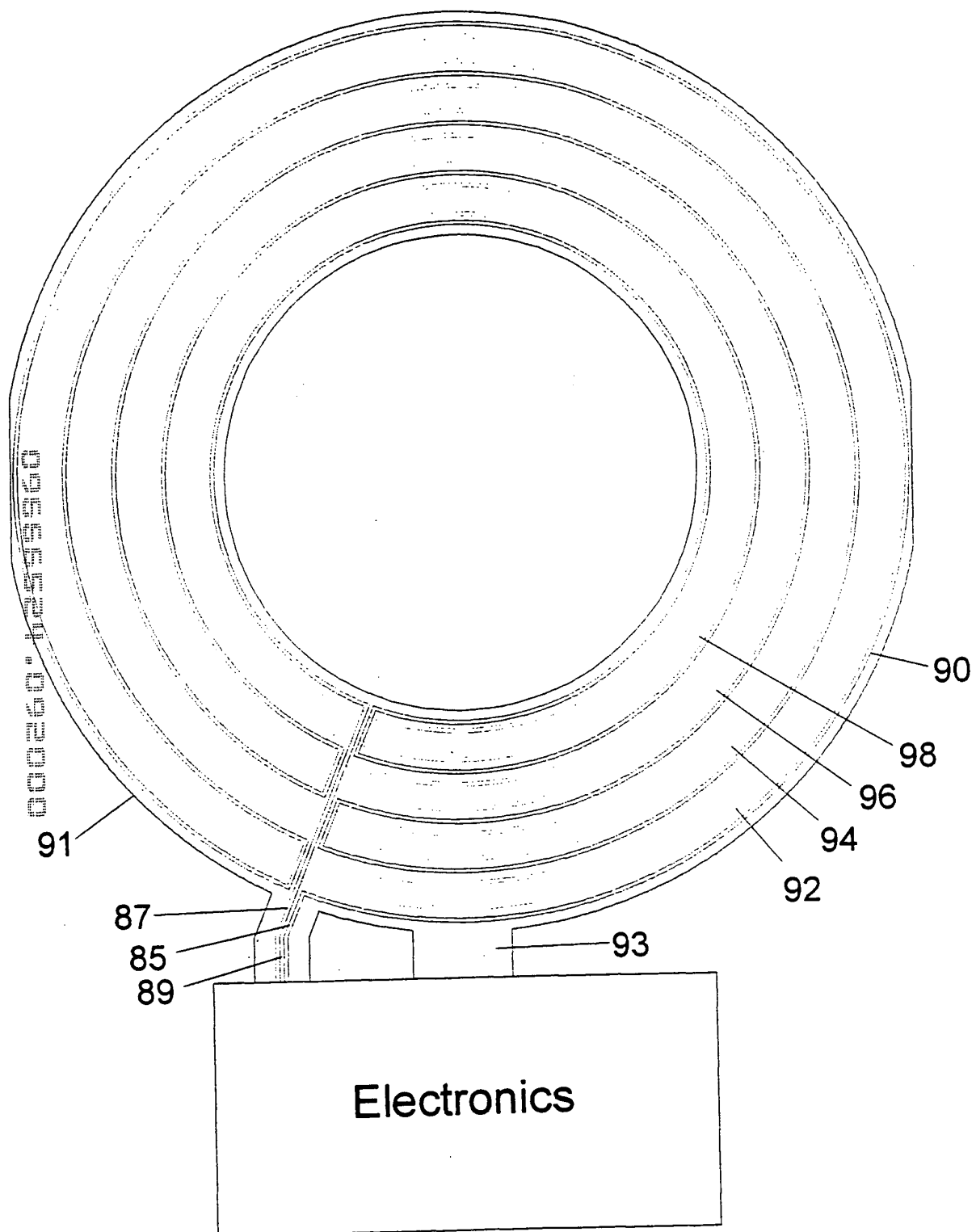


FIG. 27(a)

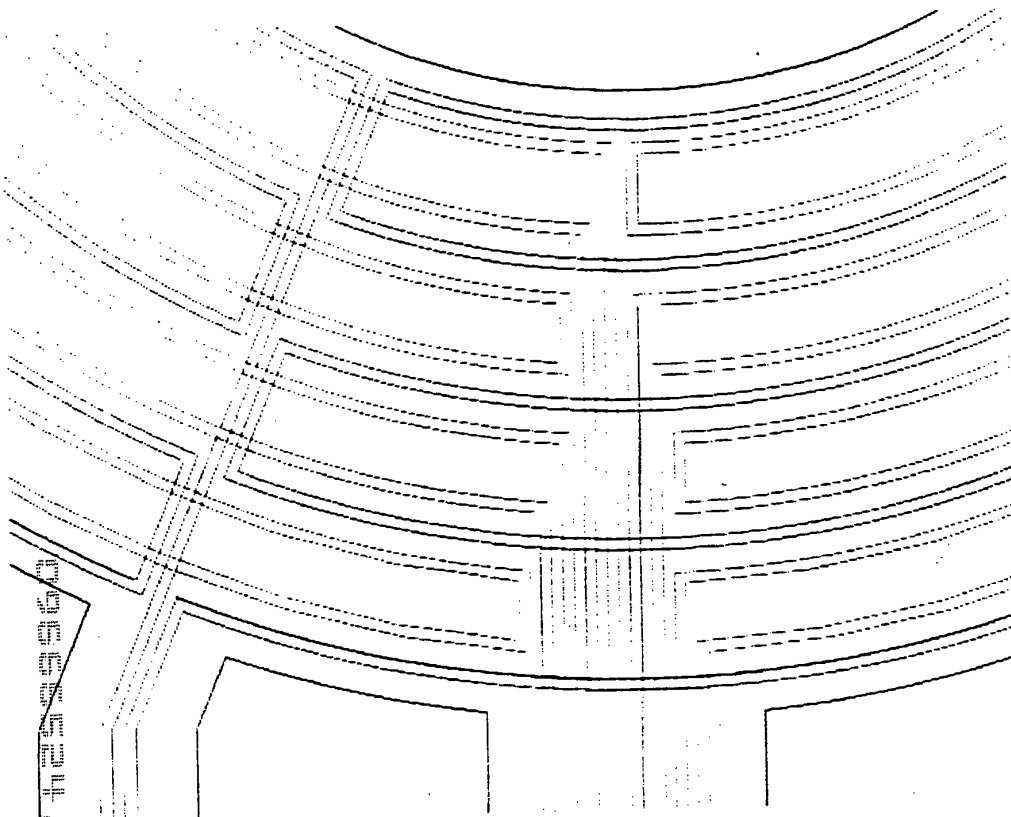
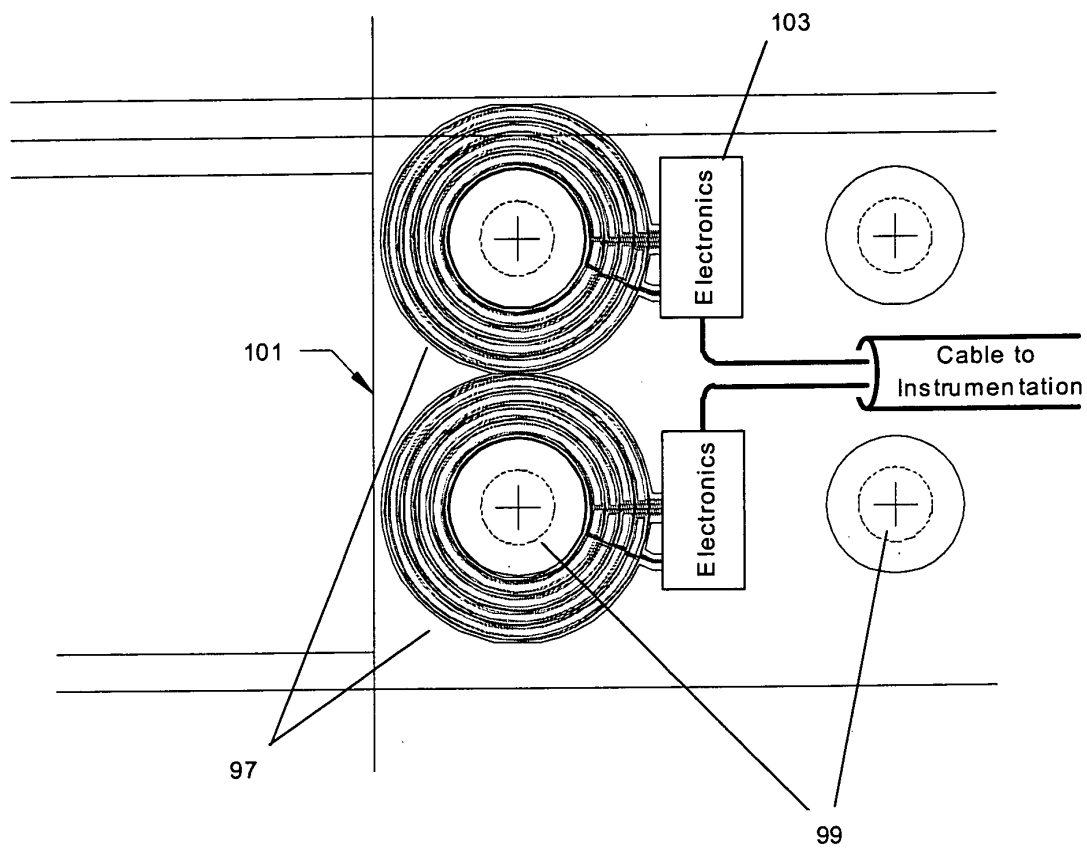


FIG. 27(b)

00026172399360



FIG. 28





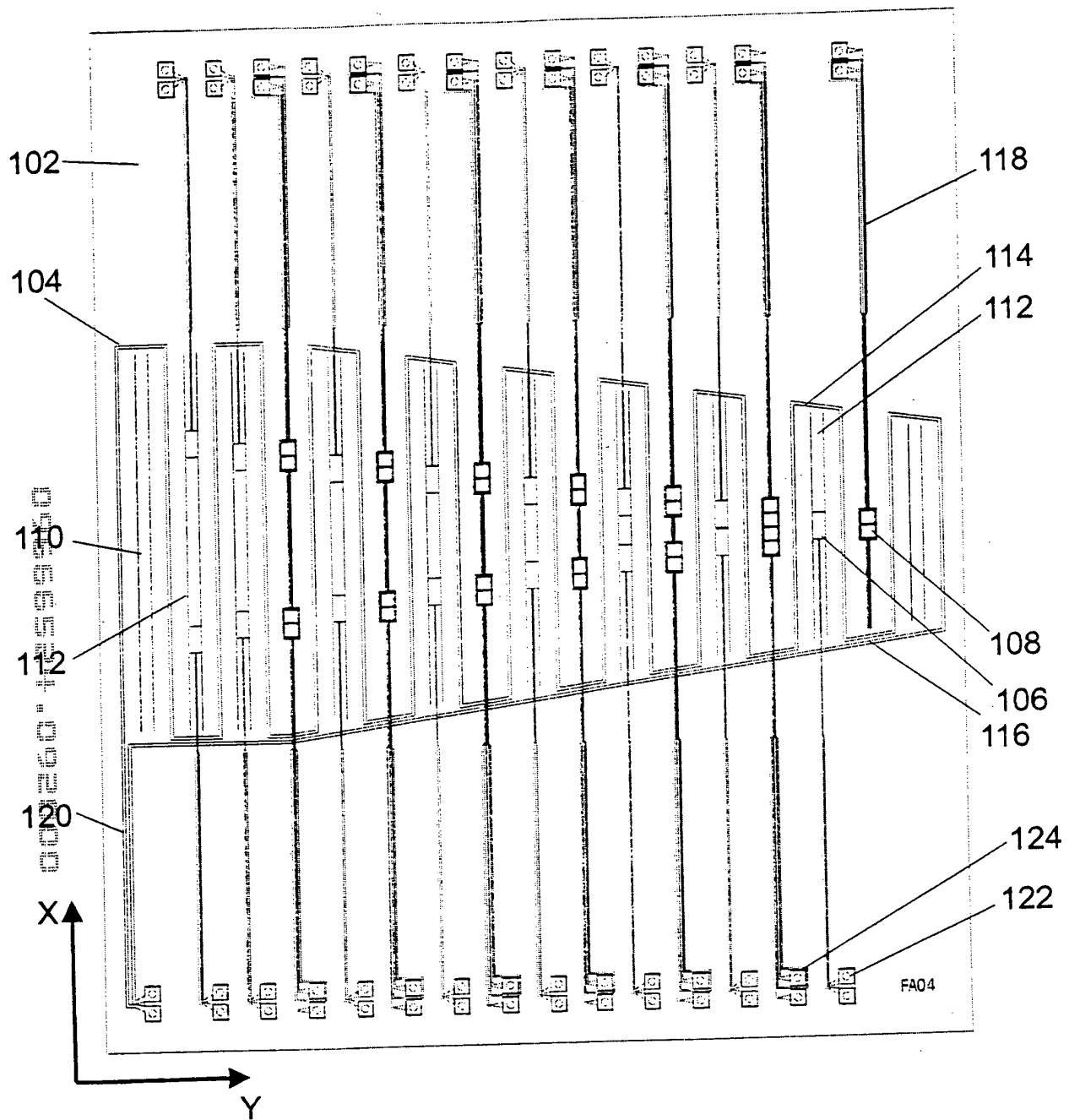


FIG. 30

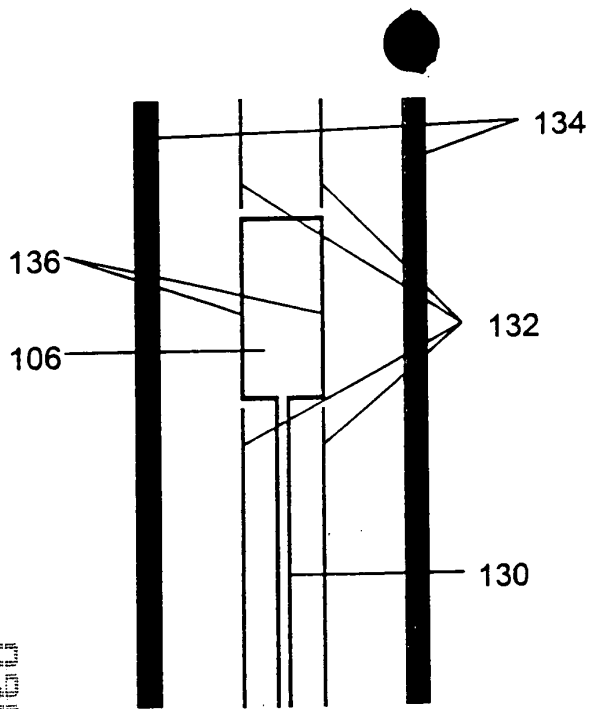


FIG. 31

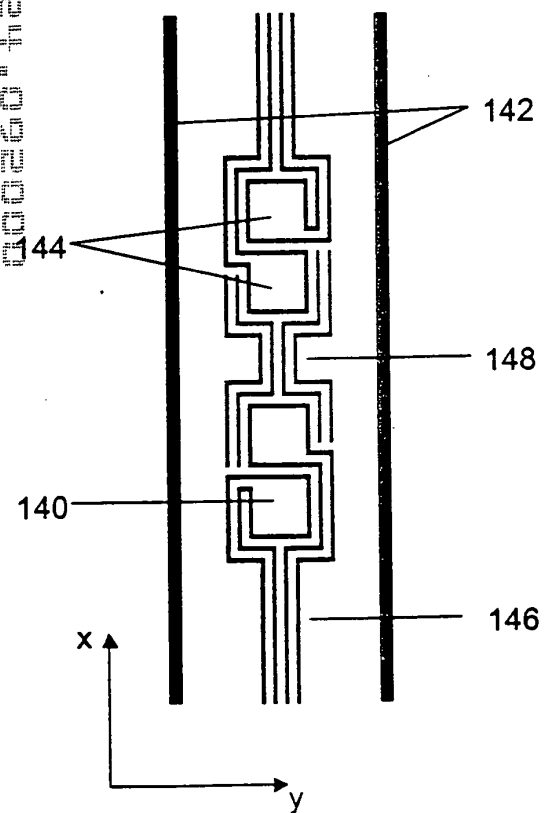


FIG. 32



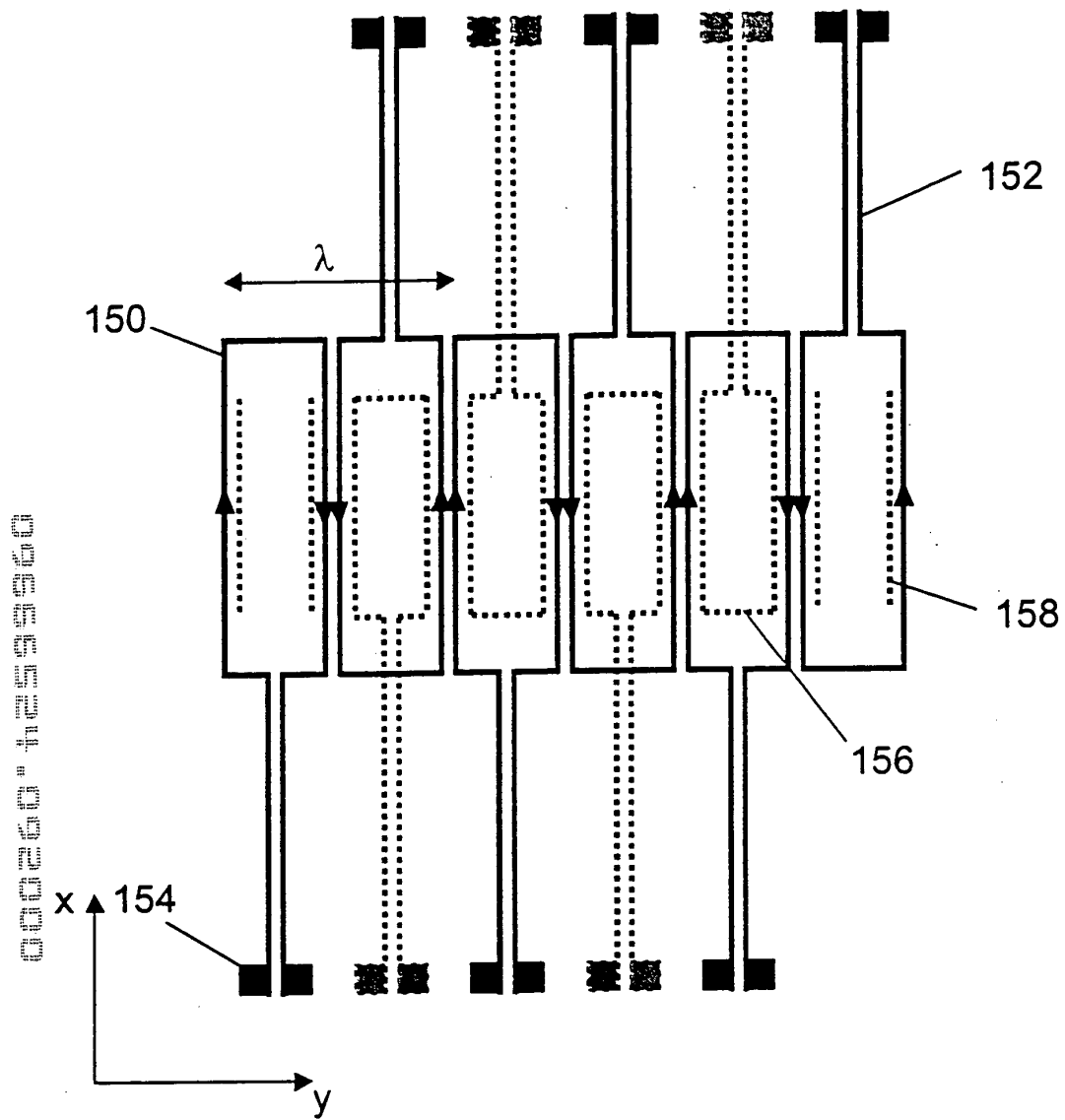


FIG. 35

000260\*11539366

Transimpedance Phase (degrees)

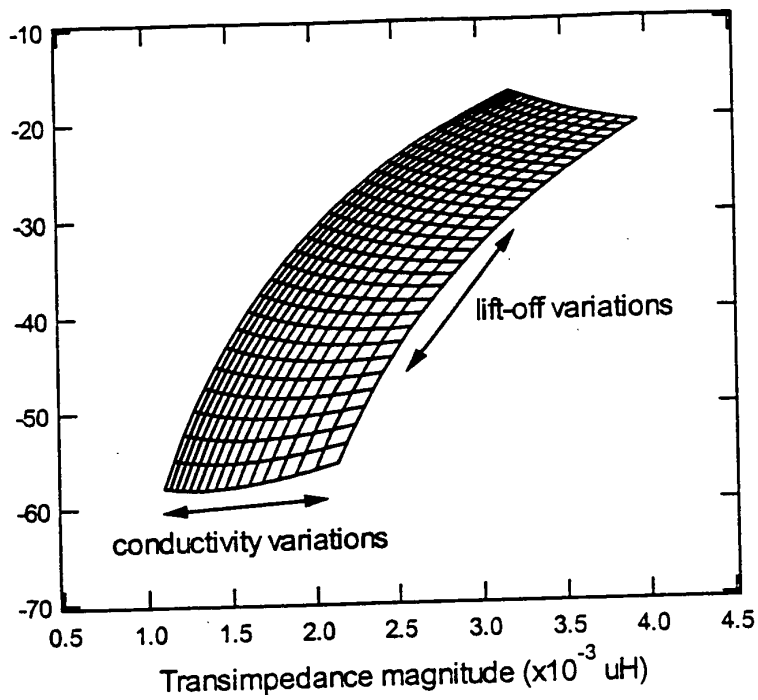


FIG. 36

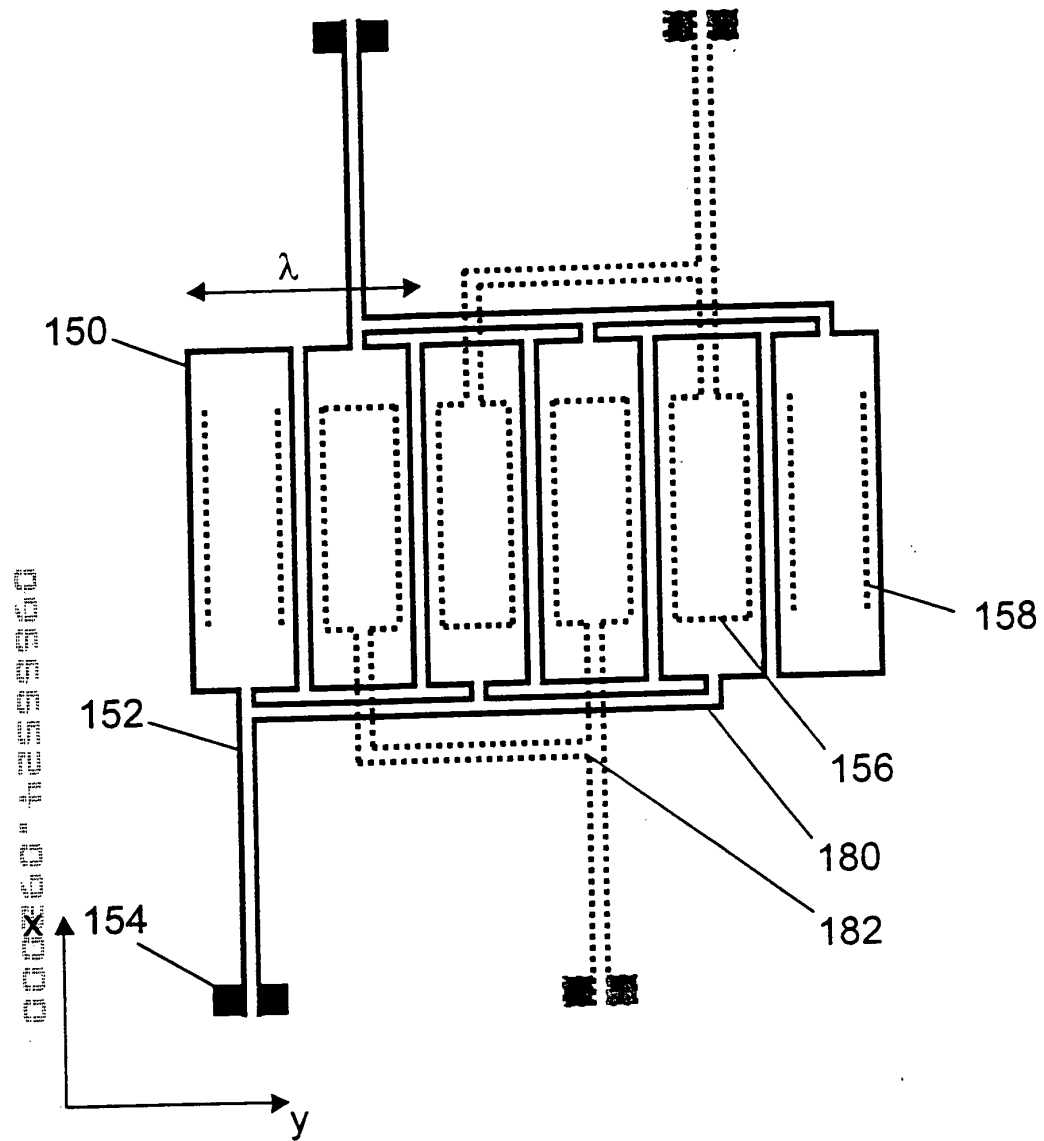
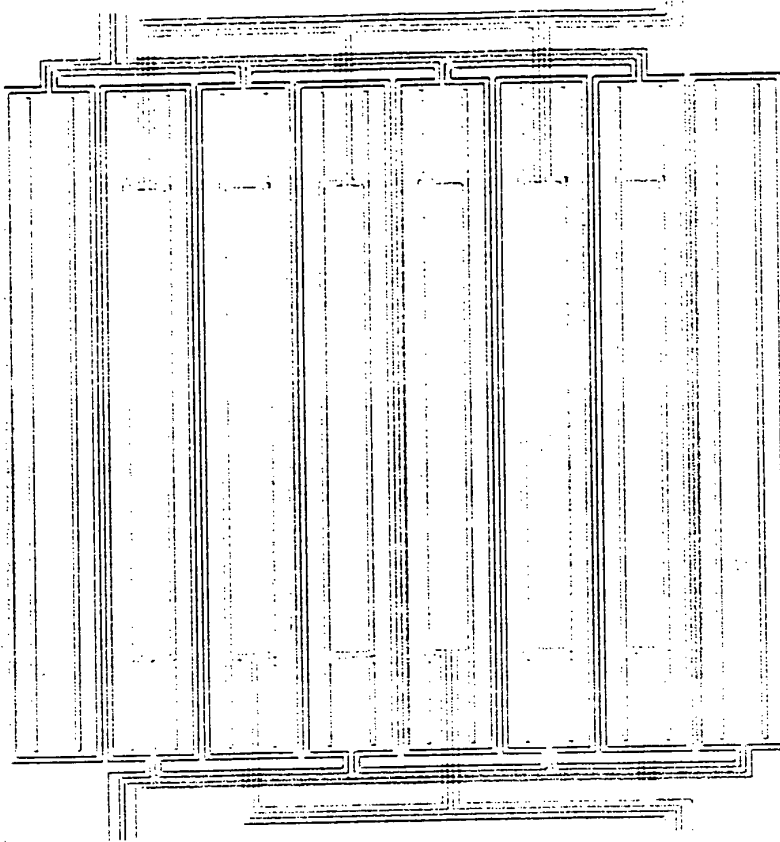


FIG. 37





**FIG. 38(b)**







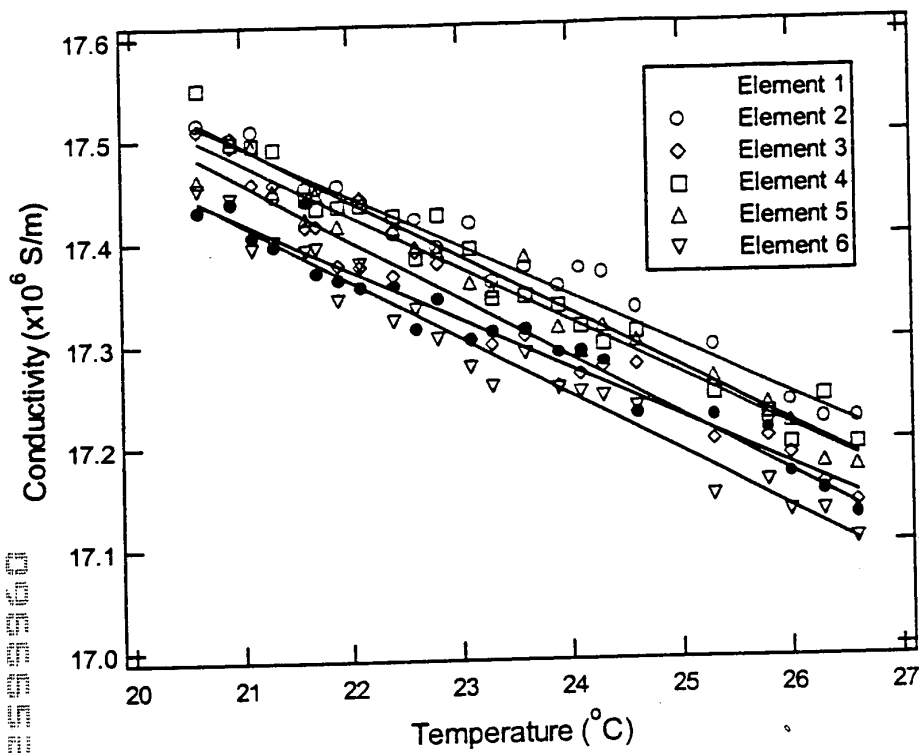
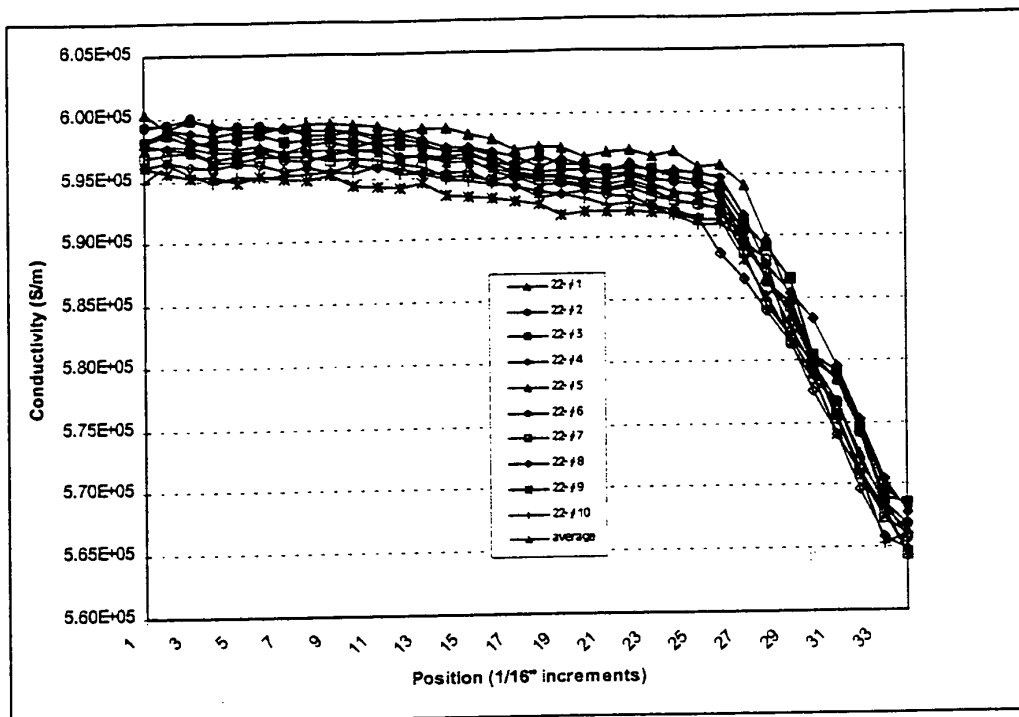


FIG. 41

000260 1239900

(a)



(b)

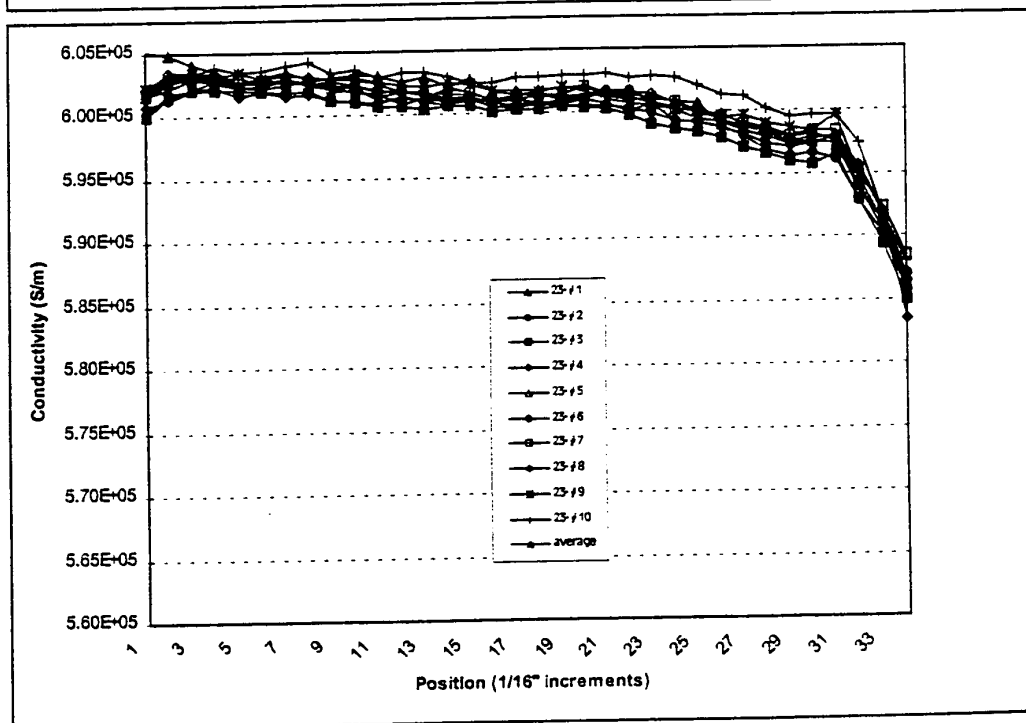


FIG. 42

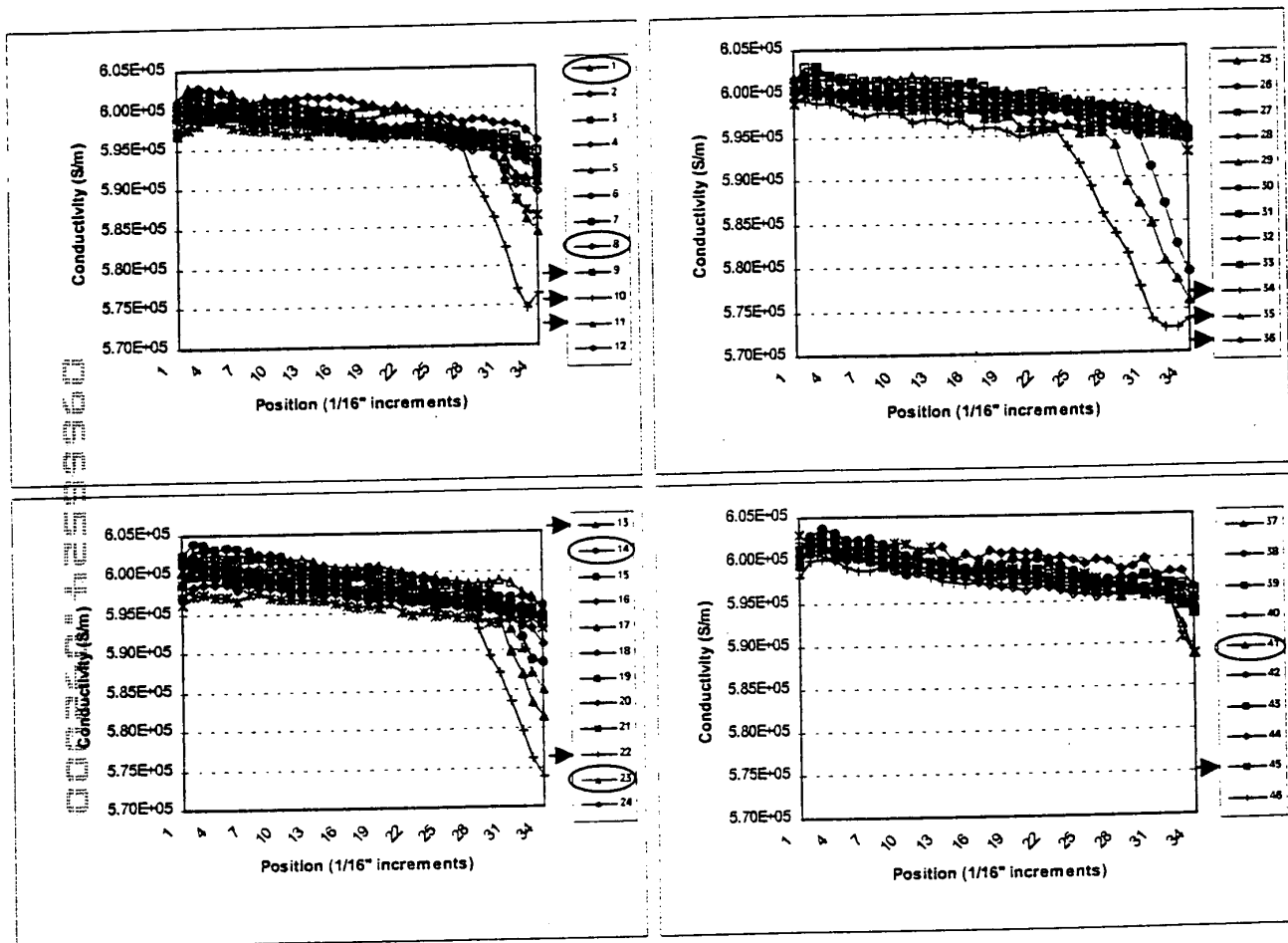


FIG. 43

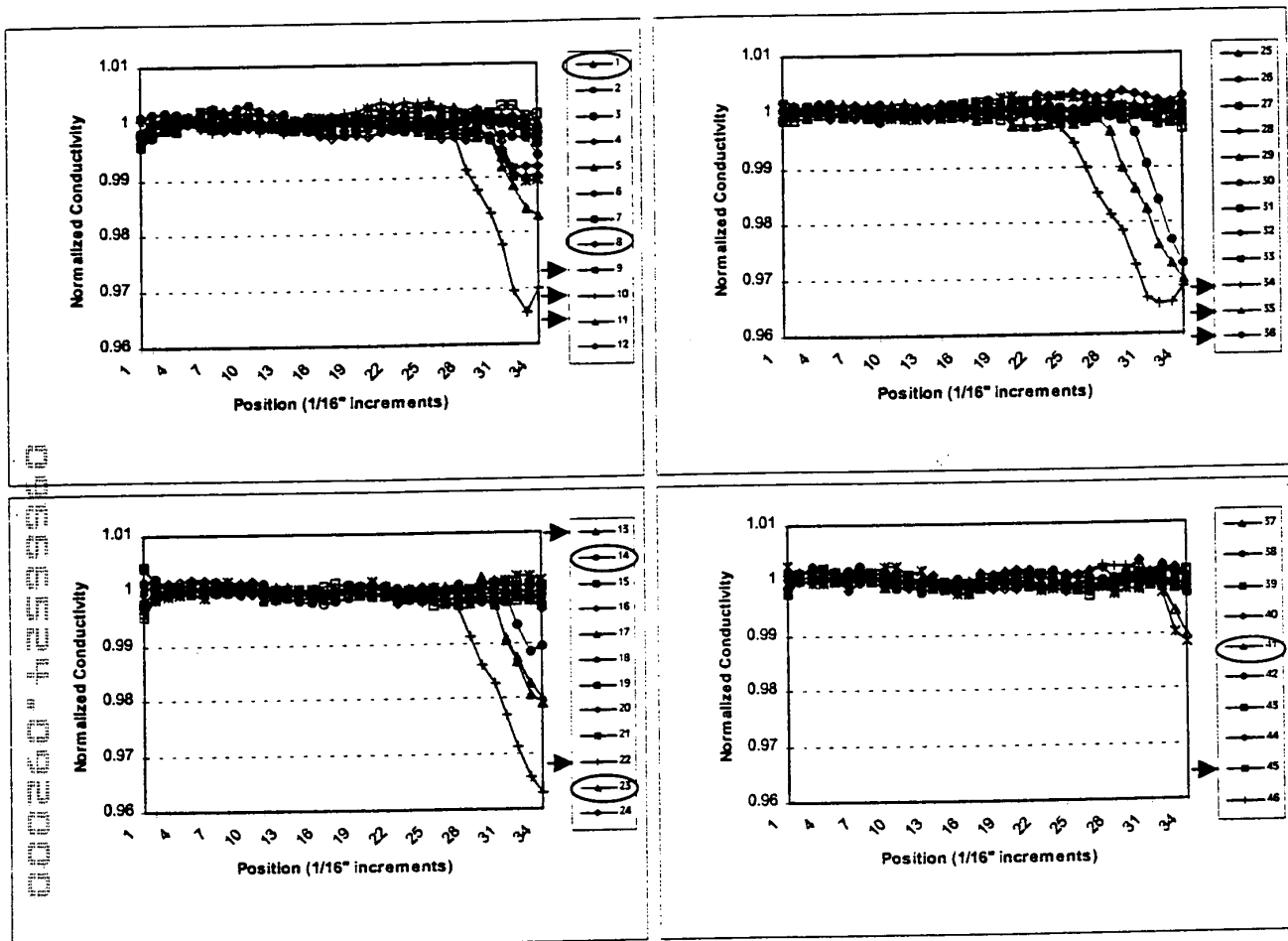


FIG. 44



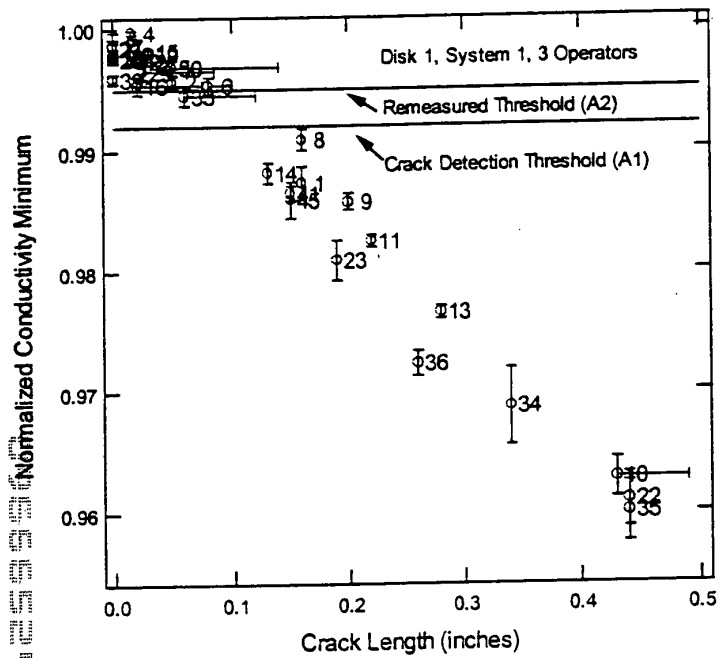


FIG. 45(a)

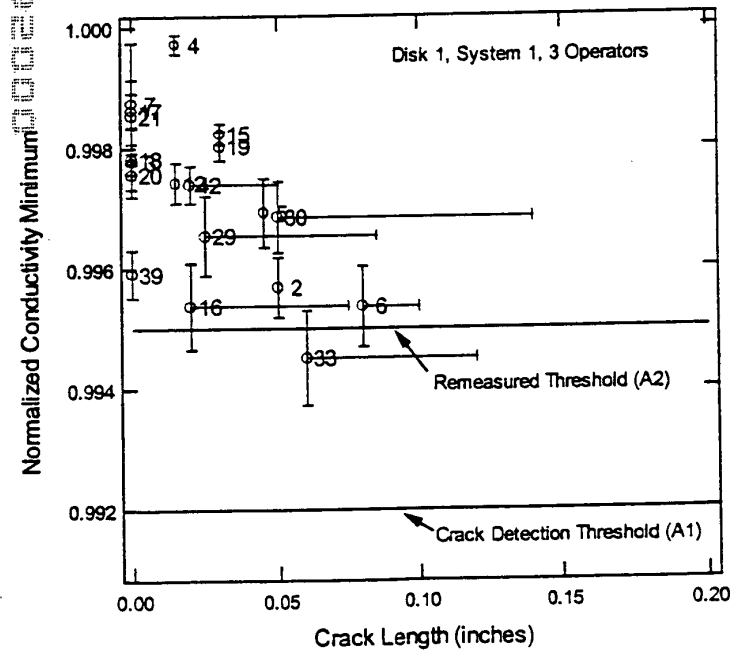
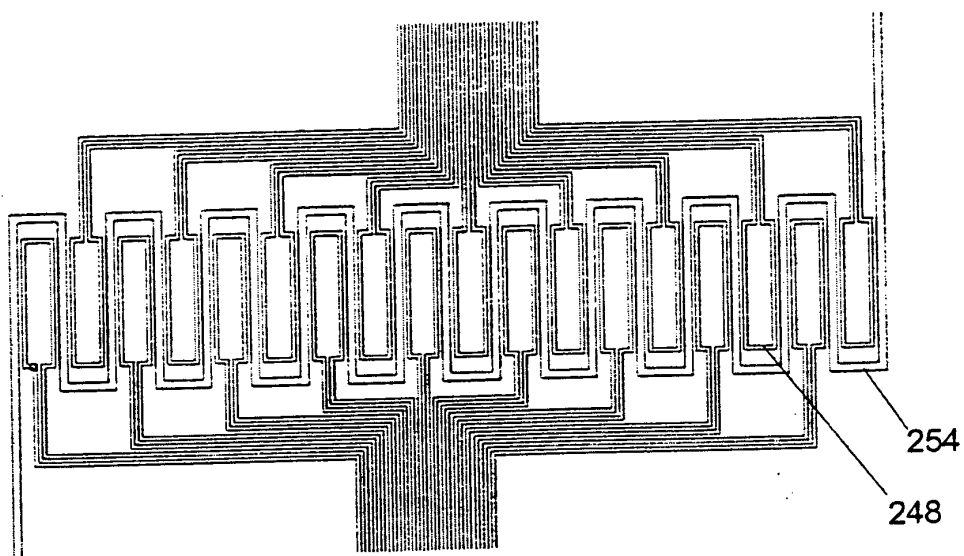


FIG. 45(b)

000260" 112319960

FIG. 46



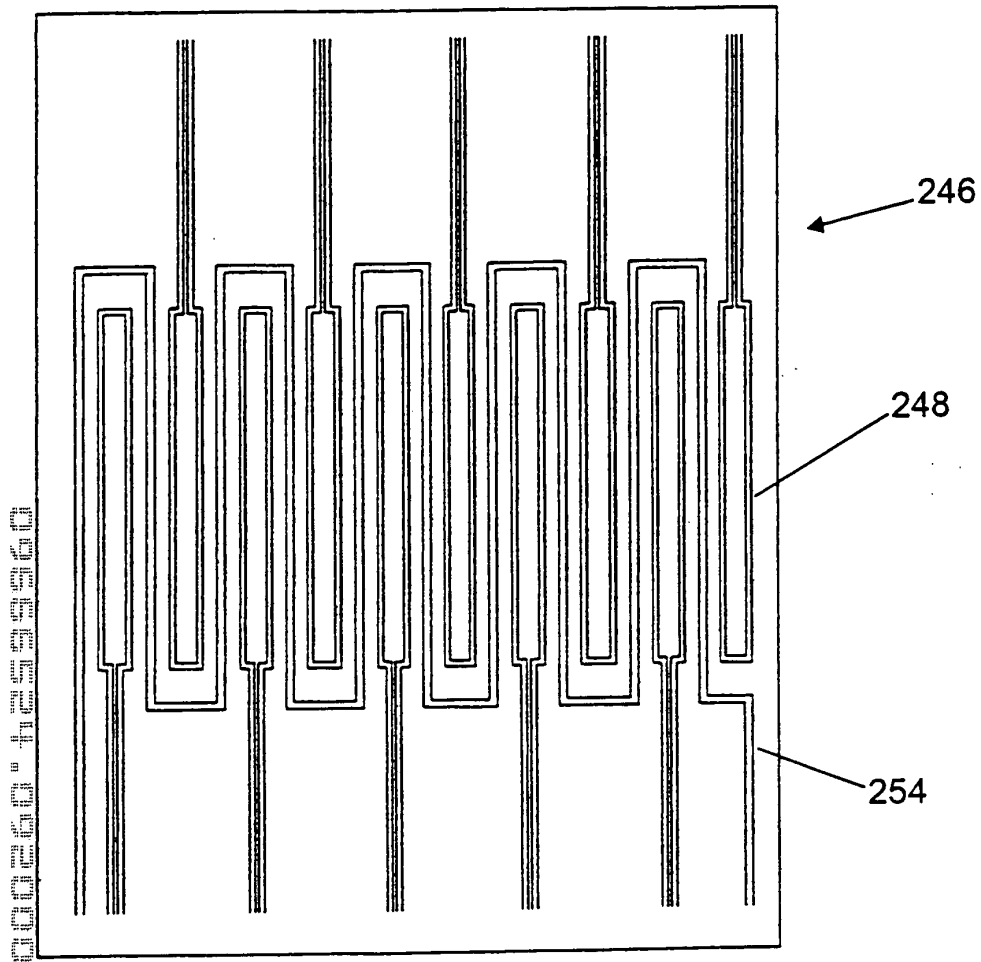


FIG. 47

# MWM Monitoring of Weld Quality in GTAW Ti-2 Welds at 400 kHz

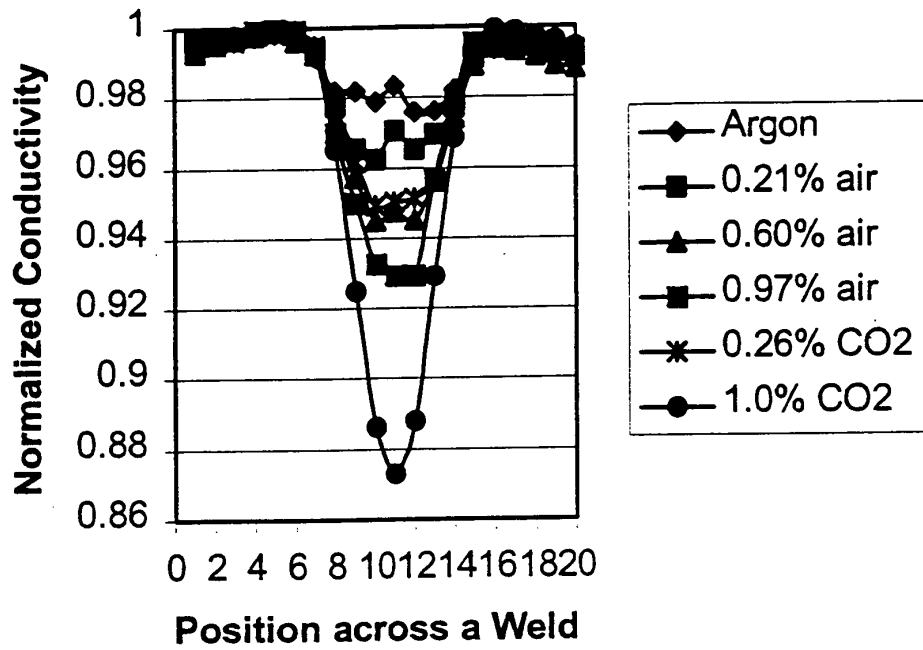


FIG. 48

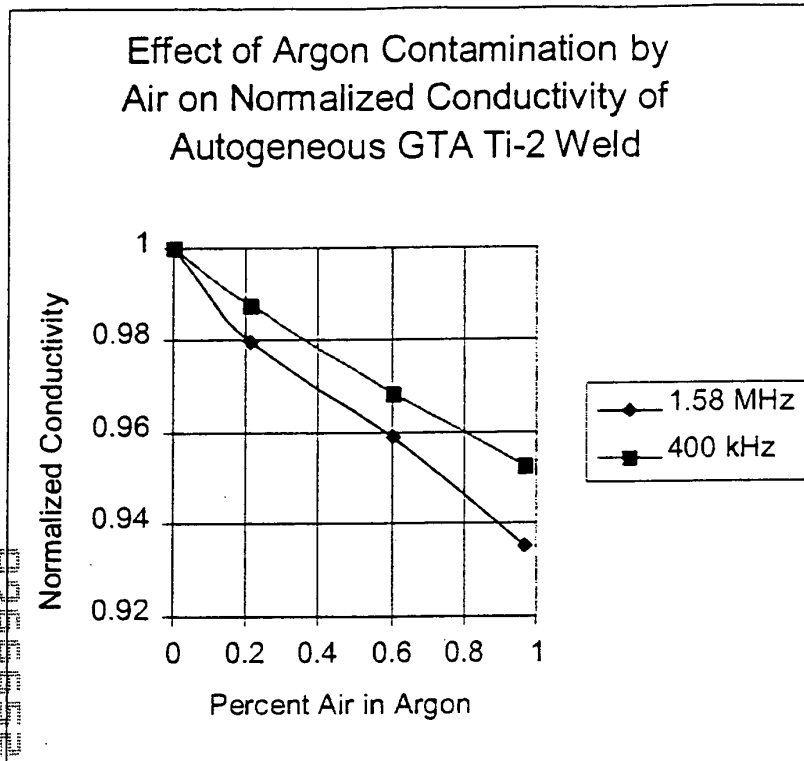


FIG. 49

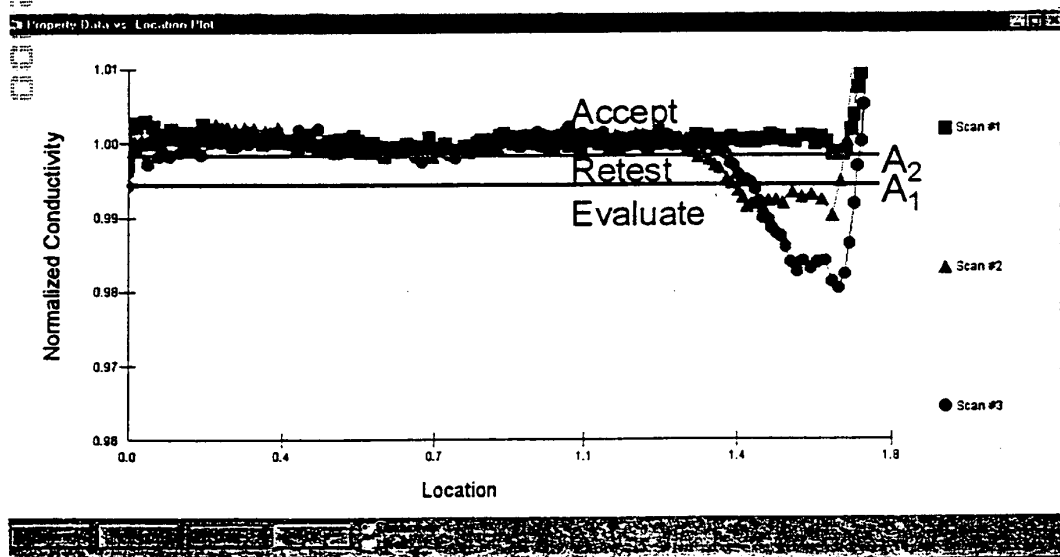


FIG. 50

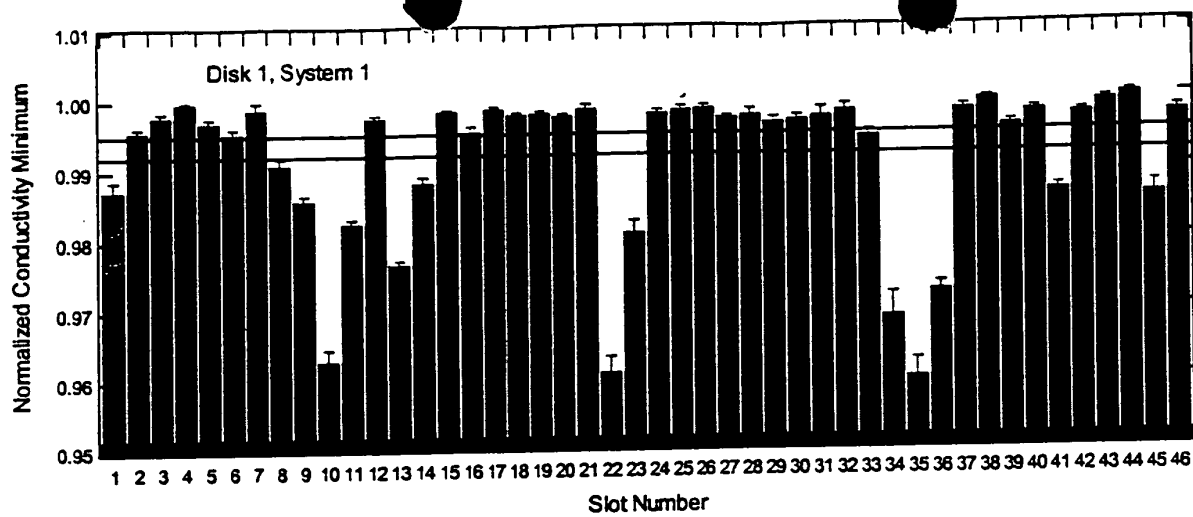


FIG. 51

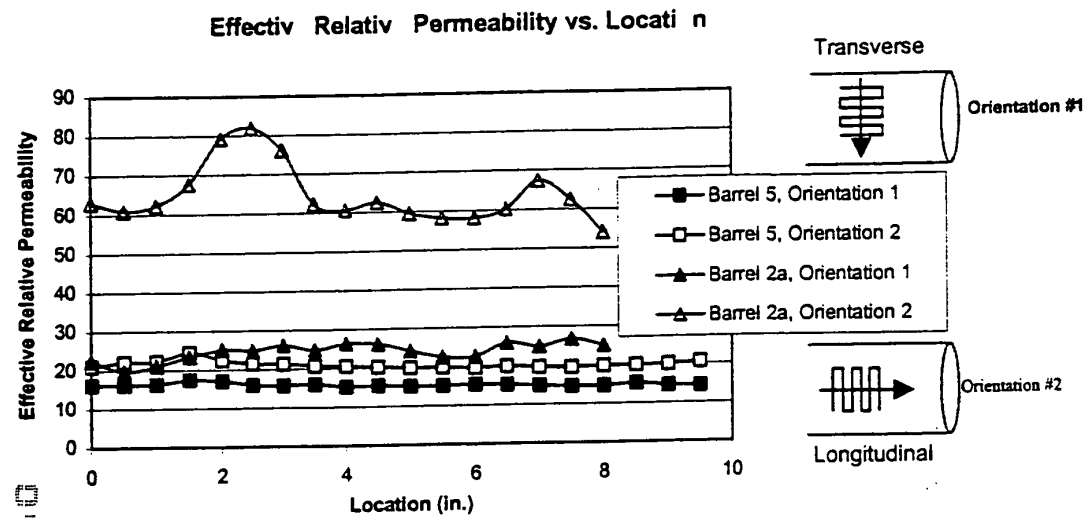


FIG 52.

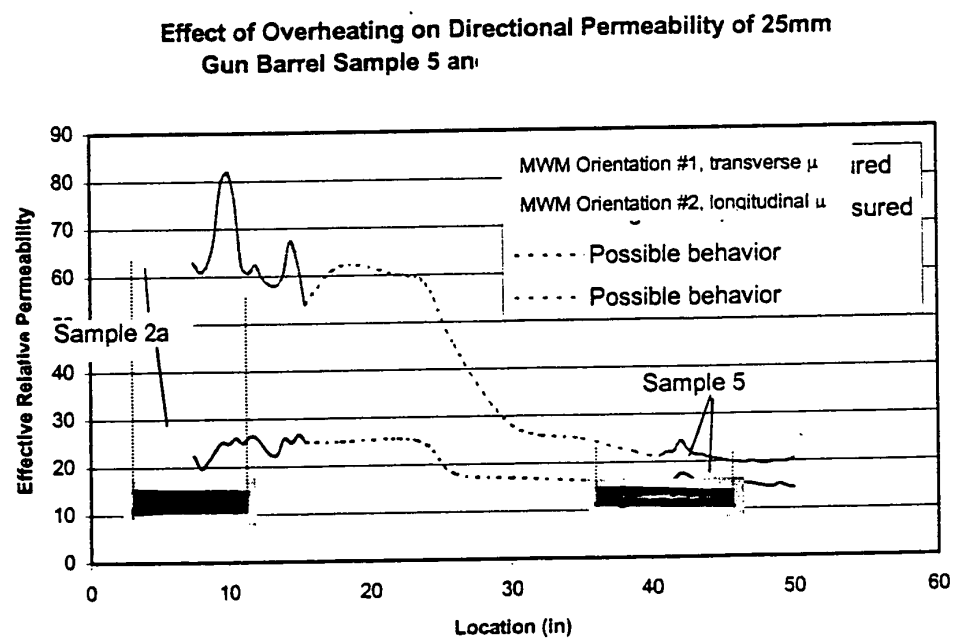
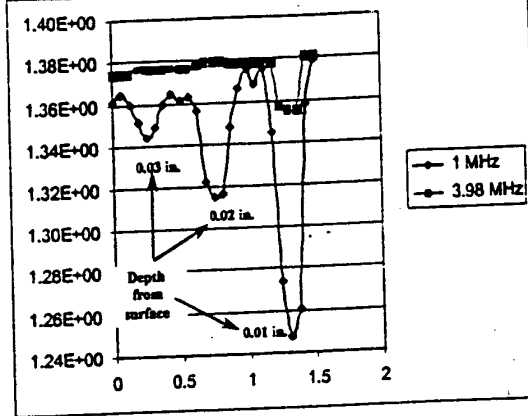


FIG 53.

Depth from surface



C Inductivity Ratio

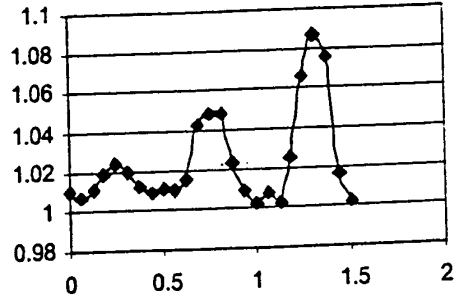


FIG 54.